Elektroschlitten EGSK/EGSP

FESTO



Elektromechanische Antriebe

FESTO

Auswahlhilfe

Übersicht von Zahnriemen- und Spindelachsen

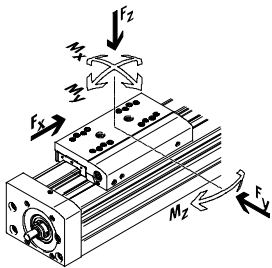
Zahnriemenachsen

- Geschwindigkeiten bis 10 m/s
- ullet Beschleunigungen bis 50 m/s 2
- Wiederholgenauigkeiten bis ±0,08 mm
- Hübe bis 8 500 mm (längere Hübe auf Anfrage)
- Flexible Motoranbindungen

Spindelachsen

- Geschwindigkeiten bis 2 m/s
- ullet Beschleunigungen bis 20 m/s²
- Wiederholgenauigkeiten bis ±0,003 mm
- Hübe bis 3 000 mm





| Zahnriemenachsen | | | | | | |
|--|----------------|-------|------|-------|-------|---|
| Тур | F _x | v | Mx | Му | Mz | Eigenschaften |
| | [N] | [m/s] | [Nm] | [Nm] | [Nm] | |
| Kugelumlauf-Schwerlastf | ührung | | | | | |
| EGC-HD-TB | | | | | | |
| | 450 | 3 | 140 | 275 | 275 | flachbauende Antriebseinheit mit steifem, geschlossenem |
| 3 | 1 000 | 5 | 300 | 500 | 500 | Profil |
| | 1 800 | 5 | 900 | 1 450 | 1 450 | präzise und belastbare Duo-Schienenführung |
| | | | | | | • ideal als Grundachse für Linienportale und Auslegerachsen |
| Kugelumlaufführung | | | | | • | |
| EGC-TB-KF | | | | | | |
| | 50 | 3 | 3,5 | 10 | 10 | • steifes, geschlossenes Profil |
| | 100 | 5 | 16 | 132 | 132 | präzise und belastbare Schienenführung |
| | 350 | 5 | 36 | 228 | 228 | kleine Antriebsritzel reduzieren erforderliches Antriebs- |
| | 800 | 5 | 144 | 680 | 680 | moment |
| The state of the s | 2 500 | 5 | 529 | 1 820 | 1 820 | platzsparende Positionsabfrage |
| ELGR-TB | | | | | | |
| Po | 50 | 3 | 2,5 | 20 | 20 | kostenoptimierte Stangenführung |
| | 100 | 3 | 5 | 40 | 40 | einbaufertige Einheit |
| | 350 | 3 | 15 | 124 | 124 | belastbare Kugelbuchsen für dynamischen Betrieb |
| | | | | | | |
| | | | | | | |
| | | | | | | |
| Rollenführung | | | | | | |
| ELGA-TB-RF | | | | | | |
| | 350 | 10 | 11 | 40 | 40 | robuste Rollenführung |
| | 800 | 10 | 30 | 180 | 180 | Führung und Zahnriemen durch Abdeckband geschützt |
| | 1 300 | 10 | 100 | 640 | 640 | Geschwindigkeiten bis 10 m/s |
| | | | | | | geringeres Gewicht als Achsen mit Schienenführungen |
| | | | | | | germgeree comant and remove the commence and an arrigen |
| Gleitführung | | | | | | |
| ELGA-TB-G | | | | | | |
| | 350 | 5 | 5 | 30 | 10 | Führung und Zahnriemen durch Abdeckband geschützt |
| | 800 | 5 | 10 | 60 | 20 | für einfache Handlingaufgaben |
| | 1 300 | 5 | 120 | 120 | 40 | als Antriebselement für externe Führungen |
| | | - | | | | unempfindlich bei schwierigen Umgebungsbedingungen |
| | | | | | | , |
| ELGR-TB-GF | | | | | | |
| | 50 | 1 | 1 | 10 | 10 | kostenoptimierte Stangenführung |
| | 100 | 1 | 2,5 | 20 | 20 | einbaufertige Einheit |
| | 350 | 1 | 1 | 40 | 40 | robuste Gleitbuchsen für Einsatz in schwierigen Umge- |
| | | | | | | bungsbedingungen |
| | | | | | | |
| ▼ | 1 | | 1 | | 1 | |

Elektromechanische Antriebe

FESTO

Auswahlhilfe

Übersicht von Zahnriemen- und Spindelachsen

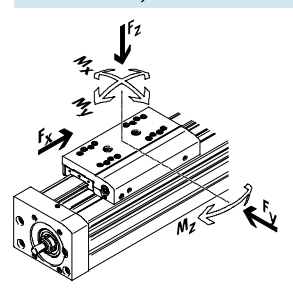
Zahnriemenachsen

- Geschwindigkeiten bis 10 m/s
- Beschleunigungen bis 50 m/s²
- Wiederholgenauigkeiten bis ±0,08 mm
- Hübe bis 8 500 mm (längere Hübe auf Anfrage)
- Flexible Motoranbindungen

Spindelachsen

- Geschwindigkeiten bis 2 m/s
- ullet Beschleunigungen bis 20 m/s 2
- Wiederholgenauigkeiten bis ±0,003 mm
- Hübe bis 3 000 mm

Koordinatensystem



| pindelachsen | | | | | | |
|--------------------|----------------|-------|------|-------|-------|--|
| yp | F _X | V | Mx | Му | Mz | Eigenschaften |
| | [N] | [m/s] | [Nm] | [Nm] | [Nm] | |
| ugelumlauf-Schwerl | astführung | | | | | |
| EGC-HD-BS | | | | | | |
| | 300 | 0,5 | 140 | 275 | 275 | flachbauende Antriebseinheit mit steifem, geschlossenen |
| 3 | 600 | 1,0 | 300 | 500 | 500 | Profil |
| | 1 300 | 1,5 | 900 | 1 450 | 1 450 | präzise und belastbare Duo-Schienenführung |
| | | | | | | • ideal als Grundachse für Linienportale und Auslegerachse |
| ugelumlaufführung | · | | | · | | |
| EGC-BS-KF | | | | | | |
| S | 300 | 0,5 | 16 | 132 | 132 | • steifes, geschlossenes Profil |
| 2. | 600 | 1,0 | 36 | 228 | 228 | präzise und belastbare Schienenführung |
| | 1 300 | 1,5 | 144 | 680 | 680 | • für höchste Anforderungen an Geschwindigkeit, |
| | 3 000 | 2,0 | 529 | 1 820 | 1 820 | Beschleunigung und Momentaufnahme |
| | | | | | | platzsparende Positionsabfrage |
| EGSK | | | | | | |
| | 57 | 0,33 | 13 | 3,7 | 3,7 | Spindelachsen mit höchster Präzision, Kompaktheit und |
| | 133 | 1,10 | 28,7 | 9,2 | 9,2 | Steifigkeit |
| | 184 | 0,83 | 60 | 20,4 | 20,4 | Kugelumlaufführung und Kugelgewindetrieb ohne Kugel- |
| | 239 | 1,10 | 79,5 | 26 | 26 | kette |
| | 392 | 1,48 | 231 | 77,3 | 77,3 | lagerhaltige Standardausführungen |
| EGSP | | | | | | |
| | 112 | 0,6 | 36,3 | 12,5 | 12,5 | Spindelachsen mit höchster Präzision, Kompaktheit und |
| | 212 | 0,6 | 81,5 | 31,6 | 31,6 | Steifigkeit |
| | 466 | 2,0 | 90,3 | 32,1 | 32,1 | Kugelumlaufführung mit Kugelkette |
| | 460 | 2,0 | 258 | 94 | 94 | Kugelgewindetrieb bei Baugrößen 33, 46 mit Kugelkette |

Elektroschlitten EGSK/EGSP

FESTO

Merkmale

Auf einen Blick

Präzision in Stahl gebettet

Die neue Generation elektrischer Schlittenachsen EGSK und EGSP überzeugt durch Präzision, Wiederholgenauigkeit, Kompaktheit und Steifigkeit.

Beide Achsbaureihen bilden ein komplettes und im Design einheitliches Angebot, mit hoher Lebensdauer und standardisierten Anbau-Schnittstellen. Das U-förmige Stahl-Gehäuse dient gleichzeitig als Führungsschiene. Der Schlitten vereinigt Linear-Führungselemente und Spindelmutter des Kugelgewindetriebs in einem Bauteil. Dies vermeidet die Summierung von Fertigungs-Toleranzen.

Beide Baureihen gibt es in drei Genauigkeitsklassen, optional mit Zusatzschlitten, die Baureihen 33 und 46 auch in Kurzschlittenausführung.

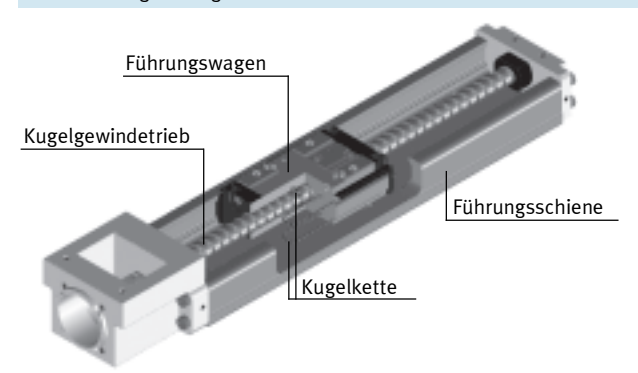
Elektroschlitten EGSK

- Kugelumlaufführung und Kugelgewindetrieb ohne Kugelkette
- Standardausführungen lagerhaltig

Elektroschlitten EGSP

- Kugelumlaufführung mit Kugelkette
- Bei Baugröße 33, 46 Kugelgewindetrieb mit Kugelkette
- Wartungsarm
- Gleichmäßiges Laufverhalten mit sehr geringer Geräuschentwicklung

Linearführung mit Kugelkette



Bei der Linearführung zirkulieren vier Kugelreihen innerhalb des Führungswagens. Im belasteten Bereich laufen die Kugeln zwischen den feingeschliffenen Laufrillen von Führungswagen und Führungsschiene, bis sie durch die Umlenkstücke in den Endplatten und die Rücklaufkanäle zurückgeführt werden. Aufgrund des sehr steif ausgelegten Führungswagens können präzise

Linearbewegungen mit beeindruckender Dynamik ausgeführt werden. Die vier Kugelreihen sind jeweils in einem Kontaktwinkel von 45° angeordnet, so dass der Führungswagen gleiche Tragzahlen in beiden radialen Koordinatenrichtungen besitzt. Daher ist dieser Führungstyp in jeder Einbaulage für die unterschiedlichsten Belastungsrichtungen einsetzbar.

Kennwerte der Achsen

Die Angaben in der Tabelle sind Maximalwerte.

Die genauen Werte für die einzelnen Varianten sind dem entsprechenden Katalog-Datenblatt zu entnehmen.

| Ausführung | Baugröße | Arbeitshub | Geschwin- | Wiederhol- | Vorschub- | Führun | gseigens | chaften | | |
|-----------------------|----------|------------|-----------|-------------|-----------|---------|----------|---------|------|-------------|
| | | | digkeit | genauigkeit | kraft | Kräfte | und Mom | ente | | |
| | | | | | | Fy | Fz | Mx | My | Mz |
| | | [mm] | [m/s] | [µm] | [N] | [N] | [N] | [Nm] | [Nm] | [Nm] |
| Elektroschlitten EGSK | | | | | | | | | | → 8 |
| | 15 | 25 1 00 | 0,33 | ±3 | 57 | 1 185 | 1 185 | 13 | 3,7 | 3,7 |
| | 20 | 25 125 | 1,10 | ±3 | 133 | 2 204 | 2 204 | 28,7 | 9,2 | 9,2 |
| | 26 | 50 200 | 0,83 | ±3 | 184 | 3 528 | 3 528 | 60 | 20,4 | 20,4 |
| | 33 | 100 630 | 1,10 | ±3 | 239 | 3 920 | 3 920 | 79,5 | 26 | 26 |
| A se | 46 | 200 840 | 1,48 | ±3 | 392 | 7 809 | 7 809 | 231 | 77,3 | 77,3 |
| | • | • | • | • | • | | • | | | |
| Elektroschlitten EGSP | | | | | | | | | | → 24 |
| | 20 | 25 125 | 0,6 | ±3 | 112 | 2 929 | 2 929 | 36,3 | 12,5 | 12,5 |
| | 26 | 50 200 | 0,6 | ±3 | 212 | 5 028 | 5 028 | 81,5 | 31,6 | 31,6 |
| | 33 | 100 630 | 2 | ±3 | 466 | 4 5 5 9 | 4 559 | 90,3 | 32,1 | 32,1 |
| | 46 | 200 840 | 2 | ±3 | 460 | 8 935 | 8 935 | 258 | 94 | 94 |

Elektroschlitten EGSK/EGSP

FESTO

→44

→44

Merkmale

Gesamtsystem aus Elektroschlitten, Motor, Motorcontroller und Motoranbausatz

Elektroschlitten mit Kugelumlaufführung



Motor





- 1 Servomotor EMME-AS, EMMS-AS
- 2 Schrittmotor EMMS-ST



- Hinweis

Für die Elektroschlitten EGSK, EGSP und die Motoren gibt es speziell aufeinander abgestimmte Komplettlösungen.

Motorcontroller





- Datenblätter → Internet: motorcontroller
- 1 Servomotor Controller CMMP-AS, CMMS-AS
- 2 Schrittmotor Controller CMMS-ST

Motoranbausatz

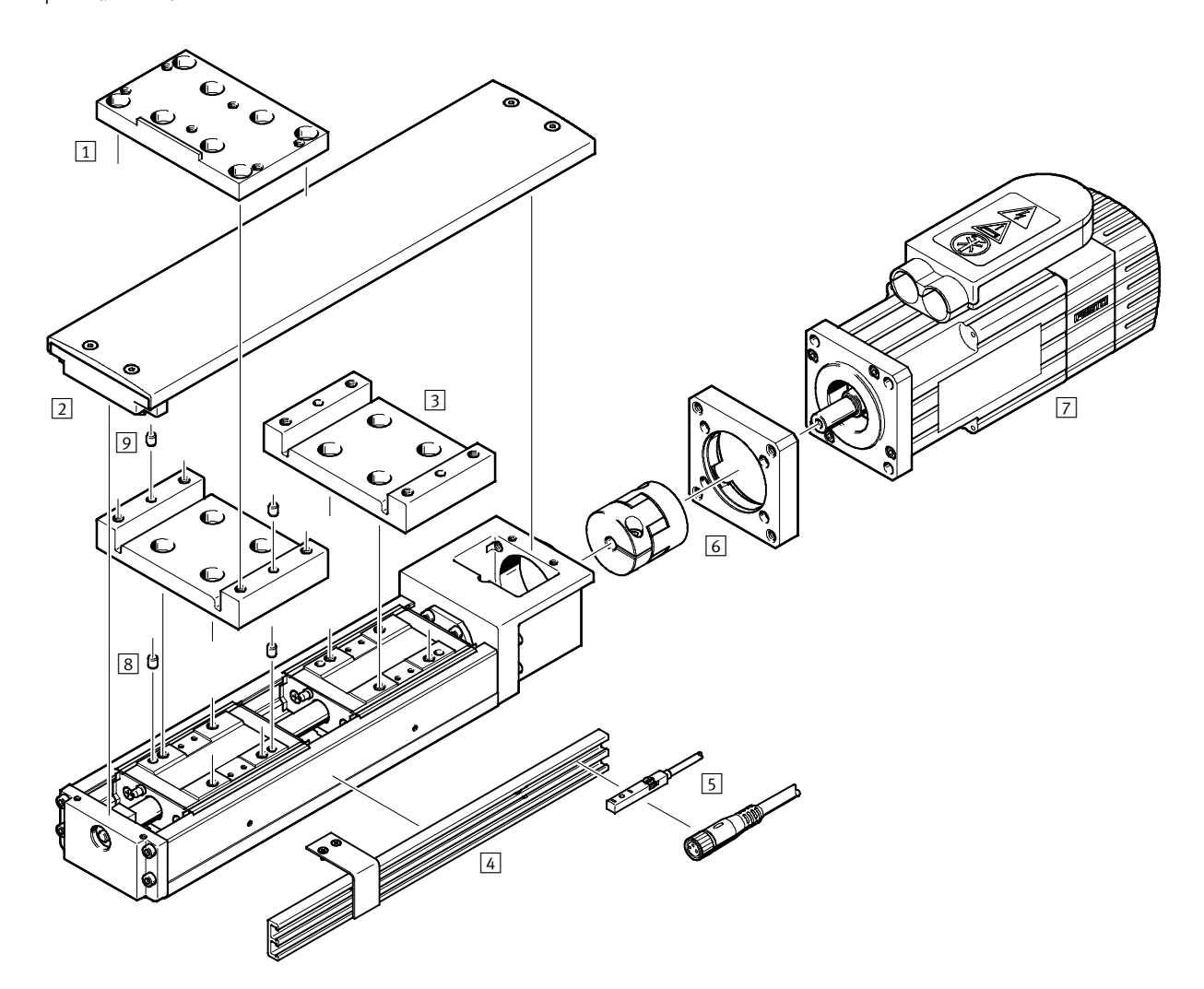


Bausatz besteht aus:

- Motorflansch
- Kupplung
- Schrauben

Elektroschlitten EGSK/EGSPPeripherieübersicht

FESTO



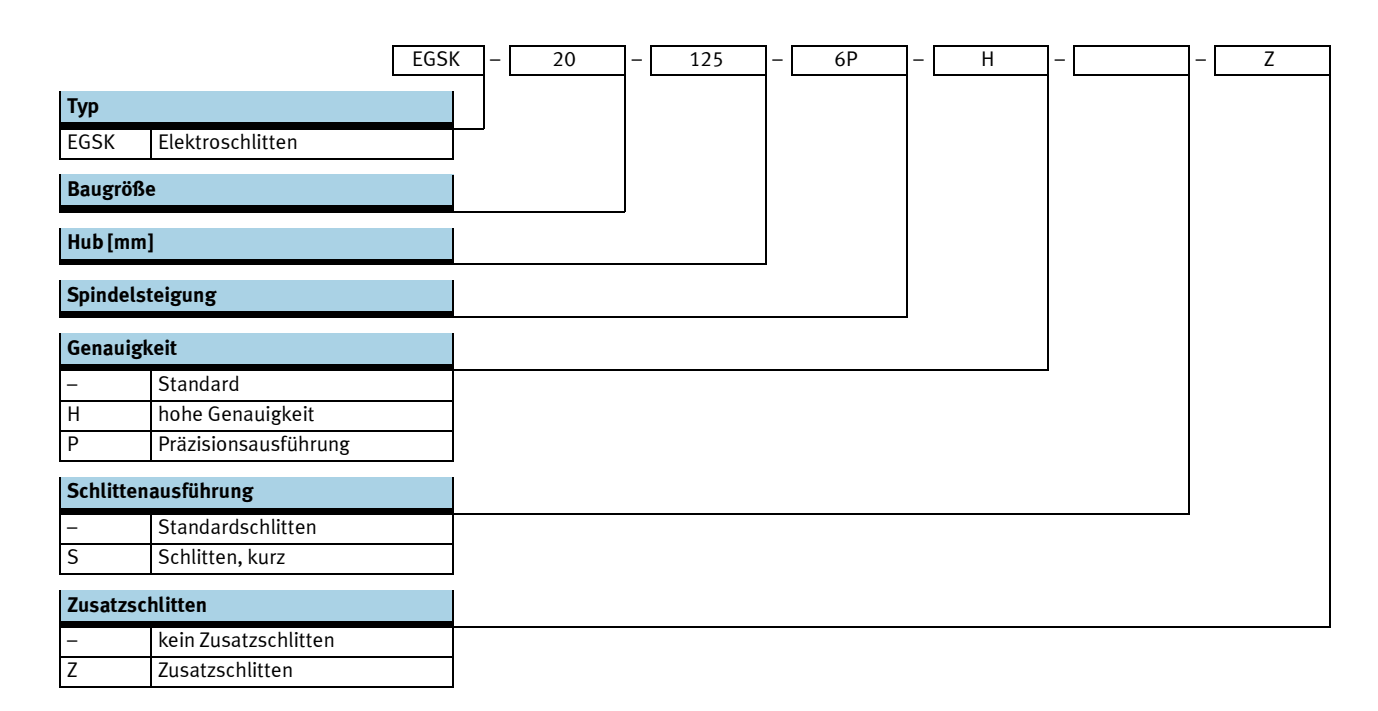
Elektroschlitten EGSK/EGSPPeripherieübersicht

FESTO

| Zube | hör | | |
|------|--------------------------|--|------------------|
| | Тур | Kurzbeschreibung | → Seite/Internet |
| 1 | Kreuzverbindungs-Bausatz | zur rechtwinkligen Befestigung einer Aufbauachse EGSK/EGSP auf dem Schlitten | 39 |
| | EHAM-S1 | einer Basisachse EGSK/EGSP. Die Aufbauachse ist jeweils eine Baugröße kleiner | |
| | | als die Basisachse. | |
| 2 | Abdeckungsbausatz | zur Abdeckung des nach oben offenen Achsprofils. Im Bausatz ist ein Schlitten- | 41 |
| | EASC-S1 | adapter EASA-S1 enthalten | |
| 3 | Schlittenadapter | wird zur Befestigung der Nutzlast in Verbindung mit dem Abdeckungsbausatz bei | 40 |
| | EASA-S1 | Achsvarianten mit Zusatzschlitten benötigt | |
| 4 | Sensorleiste | • zur Befestigung des induktiven Näherungsschalters SIES-8M am Elektro- | 43 |
| | EAPR-S1-S | schlitten | |
| | | Schaltfahnen sind im Lieferumfang enthalten | |
| 5 | Näherungsschalter | induktiver Näherungsschalter, für T-Nut | 44 |
| | SIES-8M | | |
| 6 | Axialbausatz | für axialen Motoranbau (besteht aus: Kupplung und Motorflansch) | 37 |
| | EAMM-A | | |
| 7 | Motor | speziell auf die Achse abgestimmte Motoren mit oder ohne Bremse | 37 |
| | EMMS | | |
| 8 | Zentrierstift | zur Zentrierung von Lasten und Anbauteilen auf dem Schlitten | 44 |
| | ZBS | | |
| 9 | Zentrierstift | zur Zentrierung von Lasten und Anbauteilen auf dem Schlittenadapter | 44 |
| | ZBS | | |

FESTO

Typenschlüssel



FESTO

Datenblatt

Funktion









| Allgemeine Technische Date | n | | | | | | | | | | | | | |
|------------------------------------|--------------------|---------------------|---|-----------|-----------|--------------|-------|-------|---------|-------|---------|-------|--|--|
| Baugröße | | | 15 ²⁾ | | 20 | | 26 | | 33 | | 46 | | | |
| Spindelsteigung | | | 1 | 2 | 1 | 6 | 2 | 6 | 6 | 10 | 10 | 20 | | |
| | Code ¹⁾ | | | | | | | | | | | | | |
| Konstruktiver Aufbau | | | Elektromechanische Linearachse mit Kugelumlaufspindel | | | | | | | | | | | |
| Führung | | | Kugelum | laufführu | ng | | | | | | | | | |
| Einbaulage | | | beliebig | | | | | | | | | | | |
| Befestigungsart der Nutzlast | | | Innenge | winde | _ | | | | | | | | | |
| | | | Zentrierh | ıülse | Passstift | | | | | | | | | |
| Arbeitshub ³⁾ | - | [mm] | 25 100 |) | 25 125 | 5 125 50 200 | | 0 | 100 6 | 00 | 200 800 | | | |
| | S | [mm] | - | | | | - | | 130 630 | | 240 8 | 40 | | |
| Max. Vorschubkraft | -/H ⁴⁾ | [N] | 36 | 19 | 69 | 72 | 116 | 116 | 150 | 148 | 264 | 192 | | |
| F _{x,max} | P ⁵⁾ | [N] | 57 | 31 | 110 | 133 | 184 | 184 | 239 | 183 | 392 | 343 | | |
| Max. Antriebsdrehmoment | -/H ⁴⁾ | [Ncm] | 0,6 | 0,6 | 1,1 | 6,9 | 3,7 | 11 | 14 | 24 | 42 | 61 | | |
| M _{Antr,max} | P5) | [Ncm] | 0,9 | 1,0 | 1,8 | 13 | 5,9 | 18 | 23 | 29 | 62 | 109 | | |
| Leerlaufdrehmoment | -/H | [Ncm] | 0,4 | 0,4 | 0,5 | 0,5 | 1,5 | 1,5 | 7 | 7 | 10 | 10 | | |
| M _{leer} | Р | [Ncm] | 0,8 | 0,8 | 1,2 | 1,2 | 4,0 | 4,0 | 15 | 15 | 17 | 17 | | |
| Max. Drehzahl ⁶⁾ | | [1/min] | 9 600 | 9 900 | 11 400 | 7 900 | 8 400 | 5 900 | 4 700 | 4 700 | 3 100 | 3 100 | | |
| Max. Geschwindigkeit ⁶⁾ | -/H | [m/s] | 0,16 | 0,33 | 0,19 | 0,79 | 0,28 | 0,59 | 0,47 | 0,79 | 0,52 | 1,05 | | |
| | Р | [m/s] | 0,16 | 0,33 | 0,19 | 1,10 | 0,28 | 0,83 | 0,66 | 1,10 | 0,74 | 1,48 | | |
| Max. Beschleunigung | | [m/s ²] | 10 | • | 10 | | 10 | • | 20 | • | 20 | • | | |
| Referenzierung | | | induktive | er Näheru | ngsschalt | er SIES-8 | M | | | | | | | |

- 1) Variantencode → 8
- variatiencoue → o
 Baugröße 15 gibt es nur mit den Genauigkeitsklassen H und P
 Maximaler Verfahrweg → 17
- In Verbindung mit einem Zusatzschlitten reduziert sich der Arbeitshub um die Länge des Zusatzschlittens und den Abstand zwischen beiden Schlitten.
- 4) Belastungen basieren auf Lebensdauervorgabe 5 x 10⁸ Umdrehungen
- 5) Belastungen basieren auf Lebensdauervorgabe 1,25 x 108 Umdrehungen
 6) Reduzierte Geschwindigkeiten bei Baugrößen 33 und 46 mit langen Hüben → 11

| Betriebs- und Umweltbedingungen | | |
|---------------------------------|------|----------------------------|
| Umgebungstemperatur | [°C] | 0+40 |
| Relative Luftfeuchtigkeit | [%] | 0 95 (nicht kondensierend) |

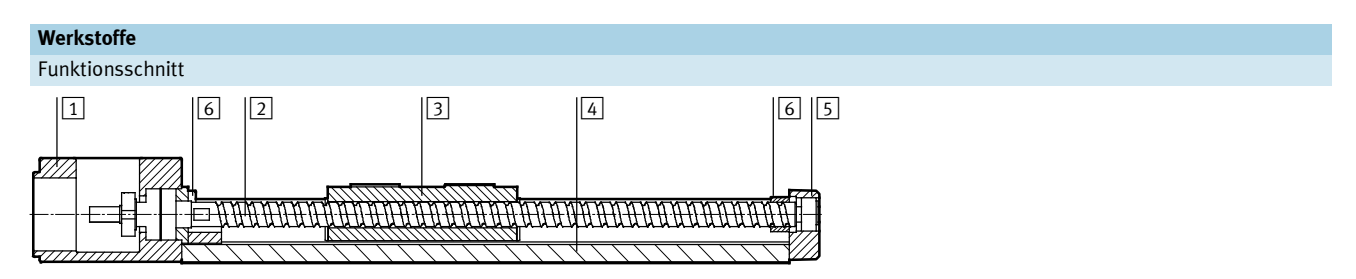
| Gewichte [kg] | | | | | | |
|------------------------|--------------------|------|------|------|------|------|
| Baugröße | | 15 | 20 | 26 | 33 | 46 |
| | Code ¹⁾ | | | | | |
| Grundgewicht bei | - | 0,16 | 0,38 | 0,78 | 1,38 | 5,17 |
| 0 mm Hub ²⁾ | S | - | - | - | 1,28 | 4,77 |
| Gewichtszuschlag | - | 0,12 | 0,27 | 0,42 | 0,63 | 1,27 |
| pro 100 mm Hub | | | | | | |
| Bewegte Masse | | 0,04 | 0,07 | 0,15 | 0,31 | 0,91 |
| | S | - | - | - | 0,17 | 0,57 |
| Zusatzschlitten Z | _ | 0,04 | 0,07 | 0,15 | 0,31 | 0,91 |
| | S | - | - | - | 0,17 | 0,57 |

- 1) Variantencode → 8
- 2) Inkl. Schlitten, ohne Zusatzschlitten

Datenblatt

| Genauigkeitsdaten [µm] | | | | | | | |
|------------------------------------|----------------|--------------------|----|-----|-----|-----|-----|
| Baugröße | | | 15 | 20 | 26 | 33 | 46 |
| | Hub | Code ¹⁾ | | | | | |
| Wiederholgenauigkeit ²⁾ | | - | _ | ±10 | ±10 | ±10 | ±10 |
| | | Н | ±4 | ±5 | ±5 | ±5 | ±5 |
| | | Р | ±3 | ±3 | ±3 | ±3 | ±3 |
| Laufparallelität | 25 340 | Н | 20 | 25 | 25 | 25 | 35 |
| | 400 540 | Н | - | _ | - | 35 | 35 |
| | 600 640 | Н | - | _ | - | 40 | 40 |
| | 800 840 | Н | - | - | - | - | 50 |
| | 25 340 | Р | 10 | 10 | 10 | 10 | 15 |
| | 400 540 | Р | - | _ | - | 15 | 15 |
| | 600 640 | Р | - | - | - | 20 | 20 |
| Max. Reversierspiel | | _ | - | 20 | 20 | 20 | 20 |
| | | Н | 10 | 10 | 10 | 20 | 20 |
| | | Р | 2 | 3 | 3 | 3 | 3 |

Variantencode → 8
 Die erzielbare Wiederholgenauigkeit eines Motor-Achs-Systems wird auch von der Winkelauflösung des Motors und den gewählten Reglerparametern beeinflusst. Die angegebene Wiederholgenauigkeit kann daher nicht mit allen Motoren erreicht werden



| Elektroschlitten | |
|-------------------|----------------------------------|
| 1 Antriebsdeckel | Aluminium-Druckguss, beschichtet |
| 2 Spindel | Stahl |
| 3 Schlitten | Stahl |
| 4 Profil | hochlegierter Stahl |
| 5 Abschlussdeckel | Aluminium-Druckguss, beschichtet |
| 6 Puffer | Ethylenvinylacetet-Copolymer |
| Werkstoff-Hinweis | RoHS-konform |
| | LABS-haltige Stoffe enthalten |

| Massenträgheitsmo | ment | | | | | | | | | | | |
|--------------------------------|--------------------|-----------------------------|-------|-------|-------|-------|-------|-------|-------|------|-------|-------|
| Baugröße | | | | | 20 | | 26 | | 33 | | 46 | |
| Spindelsteigung | pindelsteigung | | | | 1 | 6 | 2 | 6 | 6 | 10 | 10 | 20 |
| | Code ¹⁾ | | | | | | | | | | | |
| Jo | | [kg mm ²] | 0,030 | 0,033 | 0,087 | 0,143 | 0,355 | 0,479 | 1,15 | 1,65 | 8,43 | 15,3 |
| | S | [kg mm ²] | _ | _ | - | - | _ | _ | 0,791 | 1,07 | 6,01 | 10,3 |
| J _H pro 100 mm Hub | | [kg mm ² /100mm] | 0,048 | | 0,099 | | 0,314 | | 0,766 | | 3,877 | |
| J _L pro kg Nutzlast | | [kg mm ² /kg] | 0,03 | 0,10 | 0,03 | 0,91 | 0,10 | 0,91 | 0,91 | 2,53 | 2,53 | 10,13 |
| J _W pro Zusatz- | | [kg mm ²] | 0,001 | 0,004 | 0,002 | 0,058 | 0,016 | 0,14 | 0,28 | 0,79 | 2,31 | 9,22 |
| schlitten | S | [kg mm ²] | _ | _ | _ | - | _ | - | 0,16 | 0,43 | 1,44 | 5,78 |

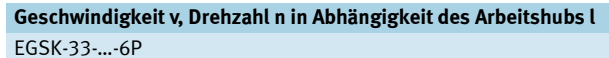
¹⁾ Variantencode → 8

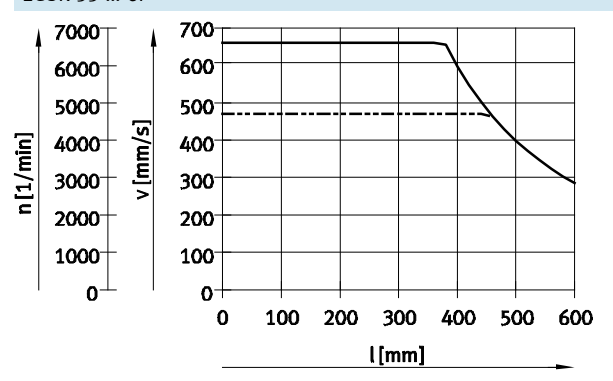
Das Massenträgheitsmoment J_A der gesamten Achse wird wie folgt berech $J_A = J_O + J_W + J_H x$ Arbeitshub + $J_L x$ $m_{Nutzlast}$

net:

FESTO

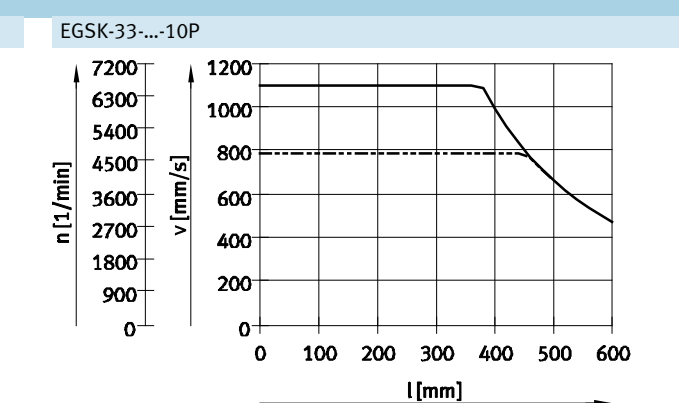
Datenblatt





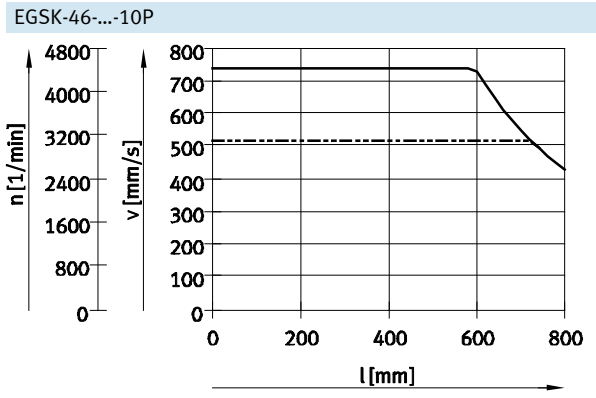
EGSK-33-...-6P-P

----- EGSK-33-...-6P, EGSK-33-...-6P-H



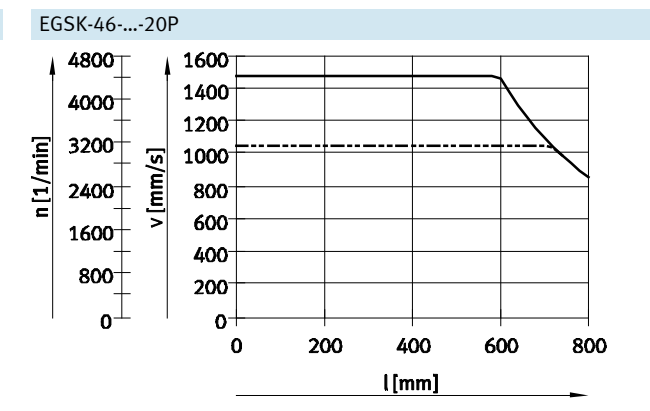
EGSK-33-...-10P-P

----- EGSK-33-...-10P, EGSK-33-...-10P-H



EGSK-46-...-10P-P

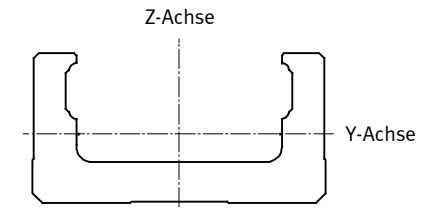
----- EGSK-46-...-10P, EGSK-46-...-10P-H



EGSK-46-...-20P-P

----- EGSK-46-...-20P, EGSK-46-...-20P-H

Flächenmomente 2. Grades

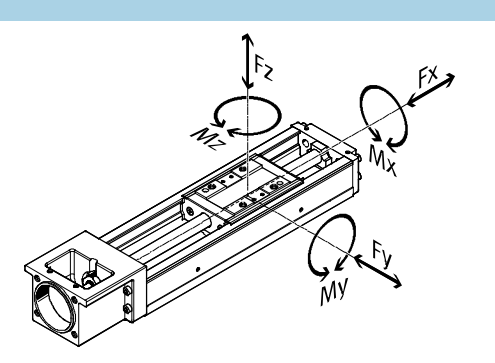


| Baugröße | 15 | 20 | 26 | 33 | 46 |
|----------|--------|--------|---------|---------|-----------|
| ly [mm | 908 | 6 100 | 17 000 | 62 000 | 240 000 |
| Iz [mm | 14 200 | 62 000 | 150 000 | 380 000 | 1 500 000 |

Datenblatt

Belastungskennwerte

Die angegebenen Kräfte und Momente beziehen sich auf die Mittelachse der Spindel. Der Koordinaten-Nullpunkt ist der Schnittpunkt aus Führungsmitte und Längenmitte des Schlittens.





| Baugröße | | | | 15 ³⁾ | 15 ³⁾ | | 20 | | 26 | | 33 | | 46 | |
|---|--------------------|---|------|------------------|------------------|-------|-------|-------|-------|-------|-------|-------|-------|--|
| Spindelsteigung | | | | 1 | 2 | 1 | 6 | 2 | 6 | 6 | 10 | 10 | 20 | |
| | Code ²⁾ | | | | | | | | | | | | | |
| Fy _{max.} , Fz _{max.} | −/H ⁴⁾ | - | [N] | 747 | 593 | 1 389 | 764 | 2 223 | 1 541 | 2 469 | 2 083 | 4 919 | 3 904 | |
| | P ⁵⁾ | - | [N] | 1 185 | 941 | 2 204 | 1 213 | 3 528 | 2 446 | 3 920 | 3 306 | 7 809 | 6 198 | |
| | $-/H^{4)}$ | S | [N] | - | - | - | - | - | - | 1 043 | 880 | 2 514 | 1 995 | |
| | P5) | S | [N] | - | - | - | - | - | - | 1 656 | 1 396 | 3 990 | 3 167 | |
| Mx _{max} . | −/H ⁴⁾ | - | [Nm] | 8,2 | 6,5 | 18,1 | 9,9 | 37,8 | 26,2 | 50,1 | 42,2 | 145 | 115 | |
| | P ⁵⁾ | - | [Nm] | 13 | 10,3 | 28,7 | 15,8 | 60 | 41,6 | 79,5 | 67,1 | 231 | 183 | |
| | -/H ⁴⁾ | S | [Nm] | - | - | - | - | - | - | 21,2 | 17,8 | 74,4 | 59 | |
| | P5) | S | [Nm] | - | - | - | - | - | - | 33,6 | 28,3 | 118 | 93,7 | |
| My _{max.} , Mz _{max.} | -/H ⁴⁾ | - | [Nm] | 2,3 | 1,9 | 5,8 | 3,2 | 12,9 | 8,9 | 16,4 | 13,8 | 48,7 | 38,7 | |
| | P ⁵⁾ | - | [Nm] | 3,7 | 2,9 | 9,2 | 5,1 | 20,4 | 14,1 | 26 | 21,9 | 77,3 | 61,4 | |
| | -/H ⁴⁾ | S | [Nm] | - | - | - | - | - | - | 3,8 | 3,2 | 13,6 | 10,8 | |
| | P ⁵⁾ | S | [Nm] | - | _ | - | - | - | - | 6 | 5 | 21,6 | 17,1 | |

- Berechnet mit einem Geschwindigkeit-Lastfaktor $f_W = 1,2$

- Variantencode → 8
 Baugröße 15 gibt es nur mit den Genauigkeitsklassen H und P
 Belastungen basieren auf Lebensdauervorgabe 5 x 10⁸ Umdrehungen und Lastfaktor f_w=1,2
 Belastungen basieren auf Lebensdauervorgabe 1,25 x 10⁸ Umdrehungen und Lastfaktor f_w=1,2

| Tragzahlen | | | | | | | | | | | | |
|--|--------------------|-----|------------------|------------------|-------|-------|-------|-------|-------|-------|-------|-------|
| Baugröße | | | 15 ²⁾ | 15 ²⁾ | | 20 | | 26 | | 33 | | |
| Spindelsteigung | pindelsteigung | | | 2 | 1 | 6 | 2 | 6 | 6 | 10 | 10 | 20 |
| | Code ¹⁾ | | | | | | | | | | | |
| Kugelgewindetrieb | | | | | | | | | | | | |
| Statisch c _o ,KGT | –/H | [N] | 660 | 410 | 1 170 | 1 450 | 4 020 | 3 510 | 4 900 | 2 840 | 6 760 | 7 150 |
| | Р | [N] | 660 | 410 | 1 170 | 1 600 | 4 020 | 3 900 | 2 740 | 1 570 | 3 720 | 5 290 |
| Dynamisch c _{dyn} ,KGT | –/H ³⁾ | [N] | 340 | 230 | 660 | 860 | 2 350 | 1 950 | 2 840 | 1 760 | 3 140 | 3 040 |
| | P3) | [N] | 340 | 230 | 660 | 1 060 | 2 350 | 2 390 | 2 250 | 1 370 | 2 940 | 3 430 |
| Festlager | | | | | | | | | | | | |
| Statisch $c_{o,bearing}$ [N] | | | 290 | 290 | | 1 240 | | 1 760 | | 2 590 | | |
| Dynamisch c _{dyn} , bearing ³⁾ [N] | | | 590 | 590 | | 1 000 | | 1 380 | | 1 790 | | |

- 1) Variantencode → 8
- Baugröße 15 gibt es nur mit den Genauigkeitsklassen H und P
- 3) Dynamische Tragzahlen beziehen sich auf eine Basislebensdauer von $10^6\,\mathrm{Umdrehungen}$

FESTO

Datenblatt

| Tragzahlen | | | | | | | | | | | | |
|---|---|-------|------------------|------------------|-------|----|--------|--------|-------|--------|--------|----|
| Baugröße | | | 15 ²⁾ | 15 ²⁾ | | 20 | | 26 | | 33 | | |
| Spindelsteigung Code ¹⁾ | | | 1 | 2 | 1 | 6 | 2 | 6 | 6 | 10 | 10 | 20 |
| Linearführung | | | | | | | | | | | | |
| Statisch c _o ,guide | | | 3 450 | | 6 300 | | 12 150 | 12 150 | | 20 200 | | |
| | S | [N] | _ | _ | | - | | - | | 10 000 | | |
| Dynamisch c _{dyn} ,g _{uide} ³⁾ | _ | [N] | 1 532 | | 2 849 | | 5 746 | | 9 207 | | 21 747 | |
| | S | [N] | - | | _ | | - | | 3 889 | | 11 112 | |
| Momenten-Äquivalenzfaktore | n | | | | • | | • | | • | | | |
| k _x | - | [1/m] | 90,9 | | 76,9 | | 58,8 | | 49,3 | | 33,8 | |
| | S | [1/m] | _ | | - | | - | | 49,3 | | 33,8 | |
| k _y , k _z | _ | [1/m] | 319,9 | | 238,7 | | 172,9 | | 151 | | 101 | |
| | S | [1/m] | - | | - | | - | | 277,1 | | 185 | |

- 1) Variantencode → 8
- 2) Baugröße 15 gibt es nur mit den Genauigkeitsklassen H und P
- 3) Dynamische Tragzahlen beziehen sich auf eine Basislebensdauer von 100 km

Geschwindigkeitsabhängiger Lastfaktor fw

 $fw = 1,0 ... 1,2 (v \le 0,25 \text{ m/s})$

 $fw = 1,2 ... 1,5 (0,25 \text{ m/s} \le v \le 1,0 \text{ m/s})$

 $fw = 1,5 ... 2,0 (1,0 \text{ m/s} \le v \le 2,0 \text{ m/s})$

 $fw = 2,0 ... 3,5 (v \ge 2,0 m/s)$

Berechnung der maximalen Vorschubkraft F_x

$$F_{x,max} = \frac{1}{f_w} \times \frac{Min[C_{dyn,KGT}; C_{dyn,bearing}]}{\sqrt[3]{\frac{L_{ref,rot}}{10^6}}}$$

Berechnung der maximalen Kräfte $F_{y/z}$, und Momente $M_{x/y/z}$

$$F_{y/z,max} = \frac{1}{f_w} \times \frac{C_{dyn,guide}}{\sqrt[3]{\frac{L_{ref,km}}{100km}}}$$

$$\mathsf{M}_{\mathsf{x/y/z,max}} = \frac{1}{\mathsf{k}_{\mathsf{x/y/z}}} \times \frac{1}{\mathsf{f_w}} \times \frac{\mathsf{C}_{\mathsf{dyn,guide}}}{\sqrt[3]{\frac{\mathsf{L}_{\mathsf{ref,km}}}{100\mathsf{km}}}}$$

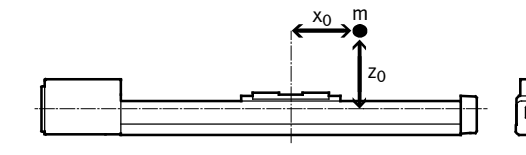
FESTO

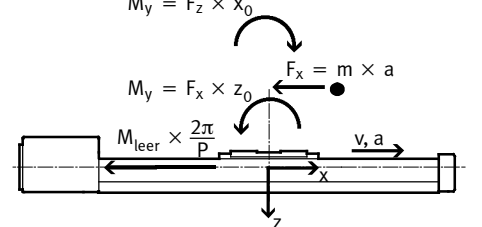
Datenblatt

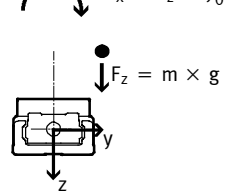
| Berechnung der Lebensdauer | | | | | | | | | | | | | |
|--|--------------------|-----------|---------------------|---------------------|-----|-------|-------|-------|-------|-------|-------|--------|--|
| Baugröße | | | | | 20 | | 26 | | 33 | | 46 | | |
| pindelsteigung P | | | 1 | 2 | 1 | 6 | 2 | 6 | 6 | 10 | 10 | 20 | |
| | Code ¹⁾ | | | | | | | | | | | | |
| Referenz-Lebensdauer | -/H | | 5 x 10 ⁸ | 5 x 10 ⁸ | | | | | | | | | |
| in Umdrehungen, L _{ref,rot} P | | 1,25 x 10 |)8 | | | | | | | | | | |
| Referenz-Lebensdauer | -/H | [km] | 500 | 1 000 | 500 | 3 000 | 1 000 | 3 000 | 3 000 | 5 000 | 5 000 | 10 000 | |
| in Kilometer, L _{ref,km} | Р | [km] | 125 | 250 | 125 | 750 | 250 | 750 | 750 | 1 250 | 1 250 | 2 500 | |

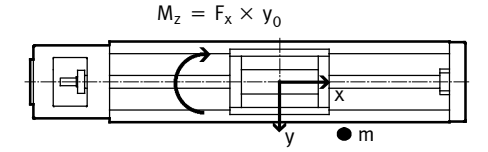
1) Variantencode → 8

1 Darstellung der Belastungen

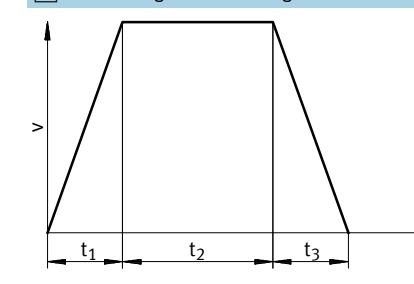








2 Ermittlung der Belastungen über den Verfahrzyklus



| , | | |
|-----------------------------|---------------------------|-----------------------------|
| $q_1 = \frac{t_1}{t_{ges}}$ | $q_2 = \frac{t_2}{t_ges}$ | $q_3 = \frac{t_3}{t_{ges}}$ |
| $t_{ges} = t_1 + t$ | $t_2 + t_3$ | |
| | | |

| V | Geschwindigkeit |
|----------------|---------------------|
| t_1 | Beschleunigungszeit |
| t_2 | Konstantfahrt-Zeit |
| t_3 | Verzögerungszeit |
| q 1/2/3 | rel. Zeitanteil der |
| | Zyklusphasen |
| t_{ges} | Zykluszeit |
| | |

Kugelgewindetrieb

 $\begin{aligned} & \text{Für } t_1 \text{:} & \quad F_{x1} = - (\text{m} \times \text{a}) - (\text{M}_{leer} \times \frac{2\pi}{P}) \\ & \text{Für } t_2 \text{:} & \quad F_{x2} = - (\text{M}_{leer} \times \frac{2\pi}{P}) \end{aligned}$

Für t₃: $F_{x3} = m \times a - (M_{leer} \times \frac{2\pi}{P})$

 $F_{x,dyn} = \sqrt[3]{q_1 \times |F_{x1}|^3 + q_2 \times |F_{x2}|^3 + q_3 \times |F_{x3}|^3}$

lastung pro Zyklusphase

F_{X,dyn} berechnete mittlere
Kraftbelastung

m Nutzlast (Massenschwerpunkt)

a Beschleunigung

M_{leer} Leerlaufdreh-

 $F_{x1/2/3}$

berechnete Kraftbe-

M_{leer} Leerlaufdrehmoment → 9 P Spindelsteigung

→ 9

 $\begin{array}{ll} q_{1/2/3} & \quad \text{rel. Zeitanteil der} \\ & \quad \text{Zyklusphasen} \end{array}$

FESTO

berechnete Kraftbe-

lastung pro Zyklus-

berechnete Momen-

berechnete mittlere

berechnete mittlere Momentenbelastung

Nutzlast (Massen-

schwerpunkt) Fallbeschleunigung

Beschleunigung Schwerpunkt-Ab-

punkt

stände der Nutzlast

zum Schlitten-Mittel-

rel. Zeitanteil der

Zyklusphasen

Kraftbelastung

tenbelastung pro Zyklusphase

phase

 $F_{y1/2/3}$

 $F_{z1/2/3}$

 $M_{x1/2/3}$

 $M_{y1/2/3}$ $M_{z1/2/3}$

 $F_{v/z,dyn}$

 $M_{x/y/z,dyn}$

 x_0, y_0, z_0

q_{1/2/3}

m

g

Datenblatt

2 Ermittlung der Belastungen über den Verfahrzyklus Linearführung

Für $t_1: a \rightarrow , v \rightarrow$ $F_{v1} = 0$ $F_{z1} = m \times g$

$$M_{x1} = F_z \times y_0 = m \times g \times y_0$$

$$M_{y1} = -F_z \times x_0 + F_x \times z_0 = -m \times g \times x_0 + m \times a \times z_0$$

$$M_{z1} = F_x \times y_0 = m \times a \times y_0$$

Für
$$t_2$$
: $a = 0$, $v \rightarrow$

$$F_{y2} = 0$$

 $F_{z2} = m \times g$

$$\begin{aligned} \mathbf{M}_{x2} &= \mathbf{F}_{z} \times \mathbf{y}_{0} = \mathbf{m} \times \mathbf{g} \times \mathbf{y}_{0} \\ \mathbf{M}_{y2} &= -\mathbf{F}_{z} \times \mathbf{x}_{0} = -\mathbf{m} \times \mathbf{g} \times \mathbf{x}_{0} \end{aligned}$$

$$M_{72} = 0$$

Für t_3 : $a \leftarrow , v \rightarrow$

$$F_{y3} = 0$$
$$F_{z3} = m \times g$$

$$M_{x3} = F_z \times y_0 = m \times g \times y_0$$

$$M_{y3} = -F_z \times x_0 - F_x \times z_0 = -m \times g \times x_0 - m \times a \times z_0$$

$$M_{z3} = -F_x \times y_0 = -m \times a \times y_0$$

$$F_{y,dyn} = \sqrt[3]{q_1 \times |F_{y1}|^3 + q_2 \times |F_{y2}|^3 + q_3 \times |F_{y3}|^3}$$

$$F_{z,dyn} = \sqrt[3]{q_1 \times |F_{z1}|^3 + q_2 \times |F_{z2}|^3 + q_3 \times |F_{z3}|^3}$$

$$M_{x,dyn} = \sqrt[3]{q_1 \times |M_{x1}|^3 + q_2 \times |M_{x2}|^3 + q_3 \times |M_{x3}|^3}$$

$$M_{v,dvn} = \sqrt[3]{q_1 \times |M_{v1}|^3 + q_2 \times |M_{v2}|^3 + q_3 \times |M_{v3}|^3}$$

$$M_{z,dyn} = \sqrt[3]{q_1 \times |M_{z1}|^3 + q_2 \times |M_{z2}|^3 + q_3 \times |M_{z3}|^3}$$

3 Summenbelastung

Kugelgewindetrieb

$$\frac{|F_{x,dyn}|}{F_{x,max}} \leq \, f_v$$

berechnete mittlere $F_{x,dyn}$ Kraftbelastung

| F _{x,max} | max. zulässige Kraft- |
|--------------------|-----------------------|
| | belastung 🗲 9 |
| f_v | Belastungs-Ver- |
| | gleichsfaktor 🗲 16 |

Linearführung

$$\frac{|F_{y,dyn}|}{F_{y,max}} + \frac{|F_{z,dyn}|}{F_{z,max}} + \frac{|M_{x,dyn}|}{M_{x,max}} + \frac{|M_{y,dyn}|}{M_{y,max}} + \frac{|M_{z,dyn}|}{M_{z,max}} \leq f_v \\ \\ F_{y/z,dyn} \\ F_{y/z,max} \\ F_{y/z$$

→ 12

Belastungs-Ver f_v gleichsfaktor → 16

FESTO

Datenblatt

4 Ermittlung des Belastungs-Vergleichsfaktors f

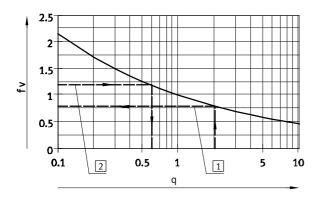
 $mit \qquad q = \frac{L_{calc,km}}{L_{ref,km}} = \frac{L_{calc,rot}}{L_{ref,rot}}$

für q = 1:

Berechnete Lebensdauer (hier Wunsch-Lebensdauer) $L_{calc,km} = 1 x Referenz$ -Lebensdauer $L_{ref,km}$ ergibt sich $f_v = 1$

für q ≠ 1:

Berechnete Lebensdauer (hier Wunsch-Lebensdauer) $L_{calc,km} = q \times Referenz$ -Lebensdauer $L_{ref,km}$ f_v ablesen (→ Diagramm) oder berechnen



Beispiel 1
 Beispiel 1

2 → Beispiel 2

| f_V | Belastungs-Ver- |
|-----------------------|--------------------|
| | gleichsfaktor |
| q | Quotient aus |
| | Wunsch-Lebens- |
| | dauer zu Referenz- |
| | Lebensdauer |
| L _{calc, km} | berechnete Lebens |
| | dauer in km |
| | |

dauer in km -> 14 Lcalc, rot berechnete Lebens-

L_{ref, km}

dauer in Umdrehun-

Referenz-Lebens-

Referenz-Lebens-L_{ref. rot} dauer in Umdrehungen → 14

5 Berechnungsbeispiele

Beispiel 1:

EGSK-26-...-2P-H-...

 $L_{ref,km} = 1 000 \text{ km}$ $L_{calc,km} = 2 000 \text{ km}$

 $q = \frac{2000 \text{km}}{1000 \text{km}} = 2,0$

 $f_v = \frac{1}{\sqrt[3]{q}} = 0,79$

Ergebnis:

Eine Wunsch-Lebensdauer von 200% der Referenz-Lebensdauer bedeutet, dass die zulässige Summenbelastung um 21% niedriger sein muss.

Beispiel 2:

Ergibt sich aus der Berechnung der Summenbelastung ein Belastungs-Vergleichsfaktor $f_v = 1,2$, so beträgt die rechnerische Lebensdauer nur noch ca. 60% $(x = 0.6 \rightarrow Diagramm) der Refe$ renz-Lebensdauer.

$$q = \frac{1}{f_v^3} = 0,58$$

6 Statische Dimensionierung

Kugelgewindetrieb

 $F_{x,stat} = Max[F_{x1}, F_{x2}, F_{x3}] \le \frac{c_{o,KGT}}{f_c}$

 $F_{x,stat}$ Maximalwert der berechneten Kraftbelastung pro Zyklusphase

berechnete Kraftbe- $F_{x1/2/3}$ lastung pro Zyklusphase

Co.KGT statische Tragzahl Kugelgewindetrieb

→ 12 Sicherheitsfaktor gegen stat. Überlastung $f_s = 1,0 ... 3,0$

berechnete Momen-

tenbelastung pro

statische Tragzahl

Kugelgewindetrieb

Zyklusphase

Linearführung

 $\mathsf{F}_{\mathsf{y},\mathsf{stat}} = \mathsf{Max}[\mathsf{F}_{\mathsf{y}1},\mathsf{F}_{\mathsf{y}2},\mathsf{F}_{\mathsf{y}3}] \leq \frac{\mathsf{c}_{\mathsf{o},\mathsf{guide}}}{\mathsf{f}_{\mathsf{S}}}$ $F_{z,stat} = Max[F_{z1}, F_{z2}, F_{z3}] \le \frac{C_{o,guide}}{f_s}$

 $M_{x,stat} = Max[M_{x1}, M_{x2}, M_{x3}] \le \frac{1}{k_x} \times \frac{c_{o,guide}}{f_c}$

 $M_{y,stat} = Max[M_{y1}, M_{y2}, M_{y3}] \le \frac{1}{k_v} \times \frac{c_{o,guide}}{f_s}$

 $M_{z,stat} = Max[M_{z1}, M_{z2}, M_{z3}] \le \frac{1}{k_z} \times \frac{C_{o,guide}}{f_c}$

 $F_{y/z,stat}$

Maximalwert der berechneten Kraftbelastung pro Zyklusphase

Maximalwert der $M_{x/y/z,stat}$ berechneten Momentenbelastung

 $F_{y1/2/3}$ $F_{z1/2/3}$

pro Zyklusphase berechnete Kraftbelastung pro Zyklusphase

Co,guide

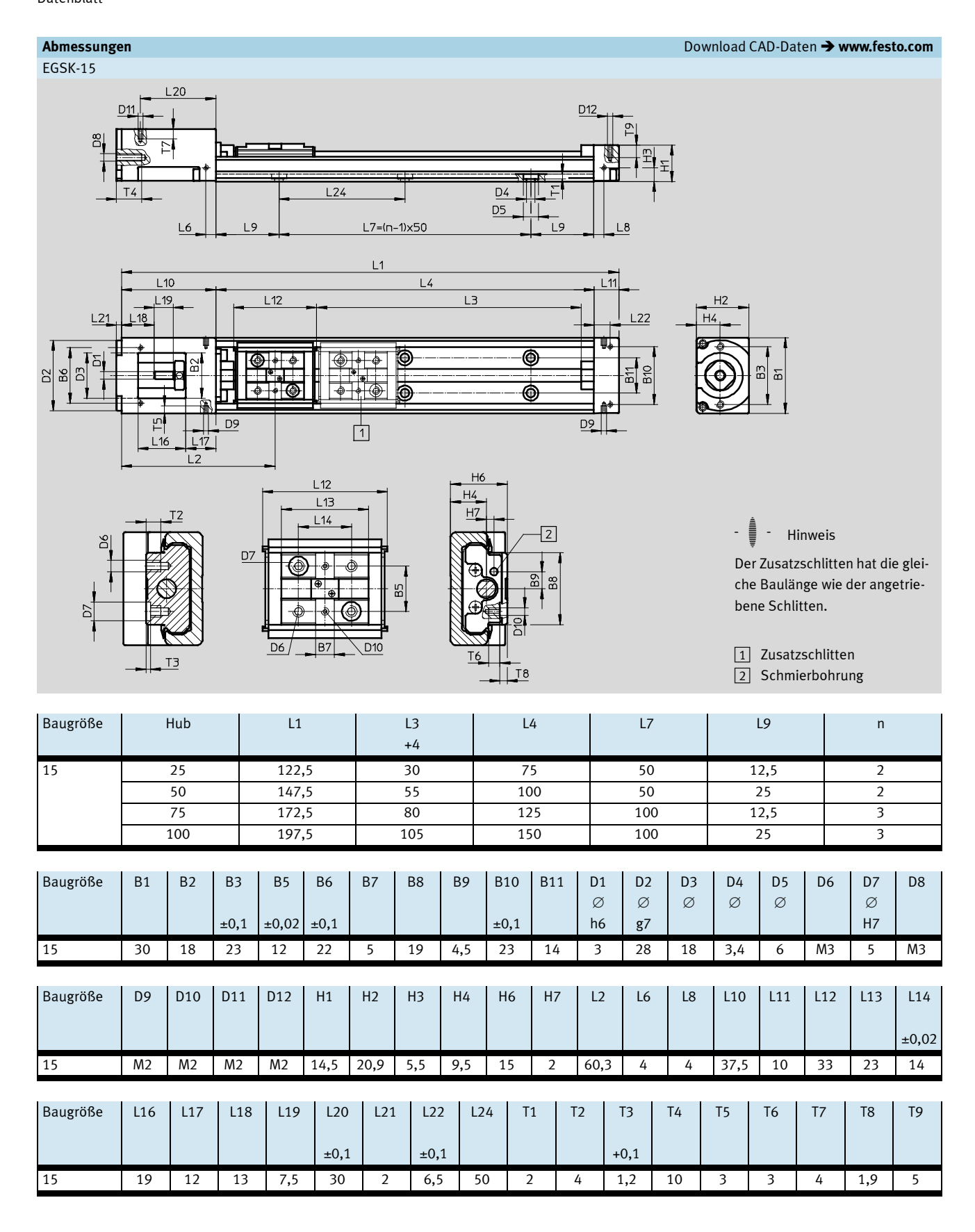
 $M_{x1/2/3}$

 $M_{y1/2/3}$

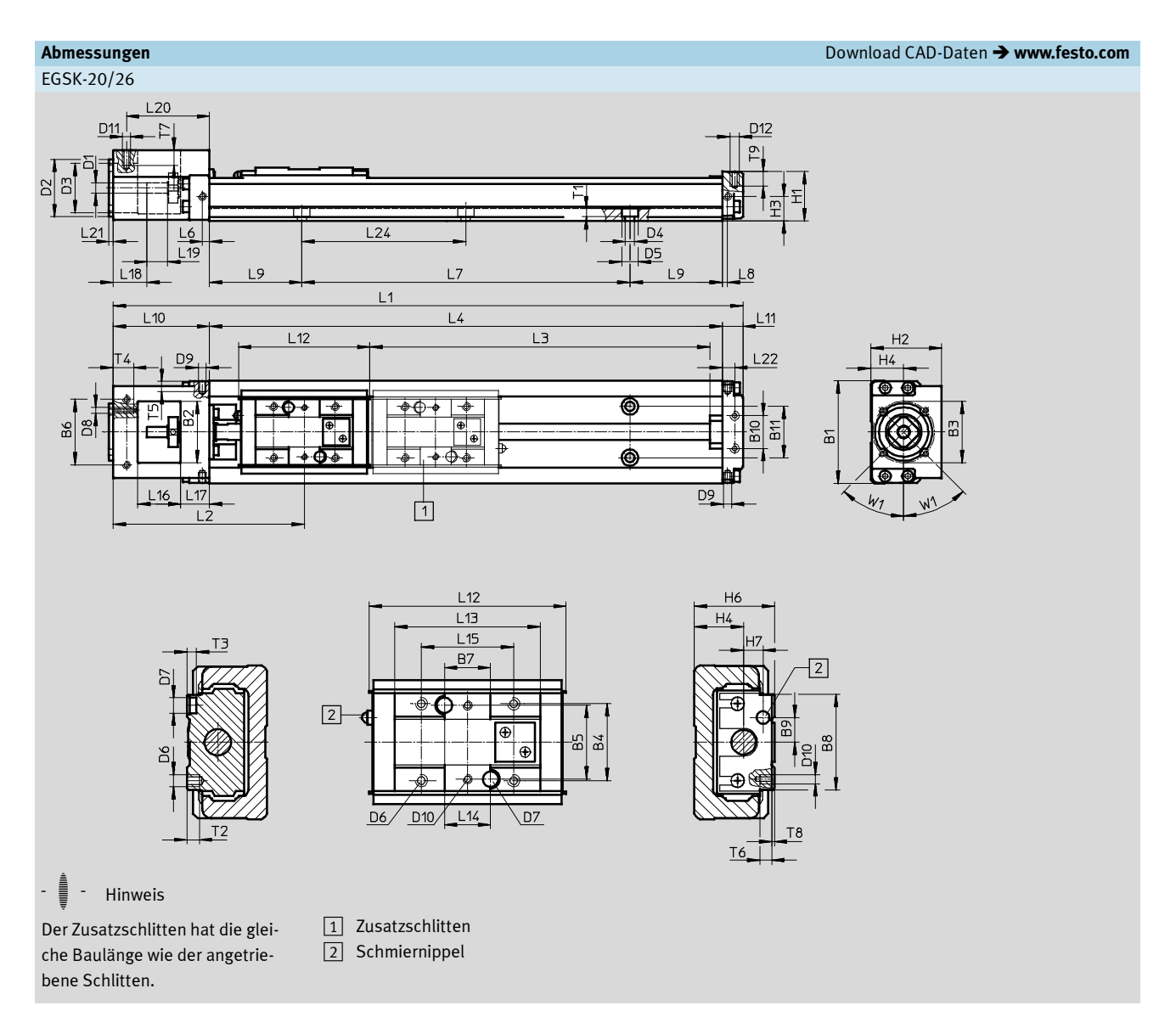
 $M_{z1/2/3}$

→ 13 Momenten-Äquiva $k_{x/y/z}$ lenzfaktoren → 13 Sicherheitsfaktor f_s gegen stat. Überlastung $f_s = 1,0 ... 3,0$

FESTO



FESTO



| Baugröße | Hub | L1 | L3 | L4 | L7= | L9 | n |
|----------|-----|-----|-----|-----|----------|----|---|
| | | | +4 | | (n-1)x60 | | |
| 20 | 25 | 152 | 40 | 100 | 60 | 20 | 2 |
| | 75 | 202 | 90 | 150 | 120 | 15 | 3 |
| | 125 | 252 | 140 | 200 | 120 | 40 | 3 |
| | | | | | | | |

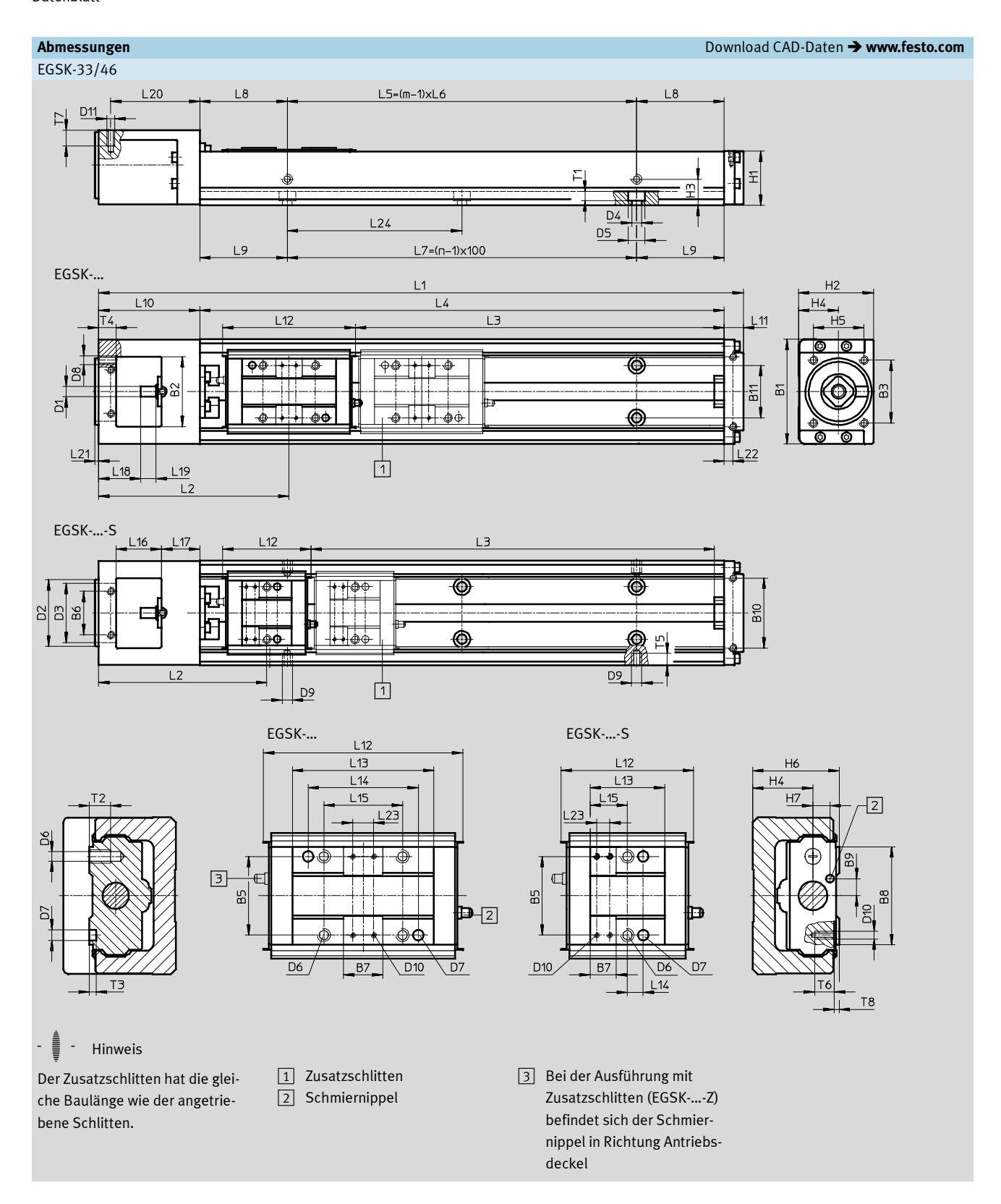
| Baugröße | Hub | L1 | L3 +4 | L4 | L7= (n-1)x80 | L9 | n |
|----------|-----|-----|----------|-----|-----------------|----|---|
| 26 | 50 | 207 | 67 | 150 | 80 | 35 | 2 |
| | 100 | 257 | 117 | 200 | 160 | 20 | 3 |
| | 150 | 307 | 167 | 250 | 160 | 45 | 3 |
| | 200 | 357 | 217 | 300 | 240 | 30 | 4 |

FESTO

| Baugröße | B1 | B2 | B3 ∅ | B4 | B5 | В6 | B7 | B8 | В9 | B10 | B11 | D1 Ø | D2 Ø | D3 Ø |
|----------|------|------|---------|-----|-------|------|-----|------|-------------------|------|------|---------|---------|---------|
| | | | | | ±0,02 | ±0,1 | | | | ±0,1 | | h7 | g7 | |
| 20 | 40 | 22 | 30 | 18 | 18 | 29 | 10 | 23 | 5 | 18 | 18 | 4 | 28 | 22 |
| 26 | 50 | 30 | 30 | 25 | 24 | 32 | 15 | 31 | 8 | 16 | 25 | 5 | 28 | 24 |
| | | | | | | | | | | | | | | |
| Baugröße | D4 | D5 | D6 | D7 | D8 | D9 | D10 | D11 | D12 | H1 | H2 | Н3 | H4 | Н6 |
| | Ø | Ø | | Ø | | | | | | | | | | |
| | | | | H7 | | | | | | | | | | |
| 20 | 3,4 | 6,5 | M3 | 2 | M3 | M2,6 | M2 | M2,5 | M2,5 | 19 | 28 | 10 | 13 | 20 |
| 26 | 4,5 | 8 | M4 | 5 | M3 | M2,6 | M3 | M2,5 | M3 | 24 | 34,5 | 12 | 16 | 26 |
| | | | | | | | | | | | | | | |
| Baugröße | H7 | L2 | L6 | L8 | L10 | L11 | L12 | L13 | L14 ¹⁾ | L15 | L16 | L17 | L18 | L19 |
| | | | | | | | | | | | | | | |
| | | | | | | | | | ±0,02 | | | | | |
| 20 | 3,4 | 72,5 | 3,5 | 2,5 | 42 | 10 | 46 | 33,2 | 10 | 20 | 18 | 12 | 16 | 8 |
| 26 | 6 | 91 | 3,5 | 2,5 | 47 | 10 | 64 | 47,4 | 15 | 30 | 21 | 14 | 16,5 | 10 |
| | | | | | | | | | | | | | | |
| Baugröße | L20 | L21 | L22 | L24 | T1 | T2 | T3 | T4 | T5 | T6 | T7 | T8 | T9 | W1 |
| | | | | | | | | | | | | | | |
| | ±0,1 | | ±0,1 | | | | | | | | | | | |
| 20 | 34,5 | 2 | 6,5 | 60 | 3 | 4,5 | 3 | 10 | 4 | 5 | 5 | 0,9 | 5 | 45° |
| 26 | 40,5 | 2 | 6 | 80 | 4 | 6,5 | 3 | 10 | 4 | 6 | 5 | 0,9 | 6 | 45° |

¹⁾ Abstand der Passbohrung

FESTO



FESTO

| Baugröße | Hub | L | 1 | | .3 -4 | | L4 | | L5 | | L6 | L7 | | L8 | m | 1 | n |
|-----------|--------------------|---------|------------------|--------|----------|-------|-----|-----|---------|--------|------------|--------|------|----------|-----|-------|-----------|
| | | | | | S | | | | | | | | | | | | |
| 33 | 100 | 26 | 59 | 110 | 135 | | 200 | | 100 | : | 100 | 100 | | 50 | 2 | 2 | 2 |
| | 200 | 36 | 59 | 210 | 235 | | 300 | | 200 200 | | 200 | | | 50 | 2 | 2 | 3 |
| | 300 | 46 | 59 | 310 | 335 | | 400 | | 200 | 1 | 200 | 300 | | 100 | 2 | 2 | 4 |
| | 400 | 56 | 59 | 410 | 435 | | 500 | | 400 | 2 | 200 | 400 | | 50 | 3 | 3 | 5 |
| | 500 | 66 | 59 | 510 | 535 | | 600 | | 400 | 2 | 200 | 500 | | 100 | 3 | 3 | 6 |
| | 600 | 76 | 69 | 610 | 635 | | 700 | | 600 | 4 | 200 | 600 | | 50 | 4 | ļ | 7 |
| | | | | | | | | | | | | | | | | | |
| Baugröße | Hub | L | 1 | L | .3 | | L4 | | L5 | | L6 | L7 | | L8 | n | า | n |
| | | | | + | -4 | | | | | | | | | | | | |
| | | | | | S | | | | | | | | | | | | |
| 46 | 200 | 42 | | 206 | 244 | | 340 | | 200 | | 200 | 200 | | 70 | 2 | | 3 |
| | 300 | 52 | | 306 | 344 | | 440 | | 400 | | 200 | 300 | | 20 | 3 | 3 | 4 |
| | 400 | 62 | | 406 | 444 | | 540 | | 400 | | 200 | 400 | | 70 | 3 | 3 | 5 |
| | 500 | 72 | | 506 | 544 | | 640 | | 600 | _ | 200 | 500 | | 20 | 4 | | 6 |
| | 600 | 82 | | 606 | 644 | | 740 | | 600 | | 200 | 600 | | 70 | 4 | | 7 |
| | 800 | 1 02 | 25,5 | 806 | 844 | | 940 | | 800 | 2 | 200 | 800 | | 70 | 5 | | 9 |
| l = | | | | | | | | _ | | | | | | | | 1 | 1 1 |
| Baugröße | B1 | B2 | В3 | B5 | В6 | В7 | В | 8 | В9 | B10 |) B1 | | | D2 | D3 | D4 | D5 |
| | | | .0.1 | .0.04 | .0.1 | | | | | . 0. 1 | | Q | | Ø | Ø | Ø | Ø |
| | 4.5 | | ±0,1 | ±0,04 | ±0,1 | | | | | ±0,1 | | h7 | | g7 | | | |
| 33 | 60 | 40 | 36 | 30 | 25 | 15 | | 7,4 | 6,5 | 40 | 30 | | | 38 | 34 | 5,5 | 9,5 |
| 46 | 86 | 48 | 36 | 46 | 42 | 15 | 54 | 1,4 | 10 | 58 | 46 | 5 8 | | 38 | 34 | 6,6 | 11 |
| Paugröß o | D6 | D7 | D8 | D9 | D10 | D11 | l u | 11 | H2 | Н3 | H | H! | | Н6 | H7 | l 1 | .2 |
| Baugröße | рб | Ø | Do | D9 | D10 | ווט | " | 11 | ПZ | ПЭ | П | + n: | · | по | П/ | L | .2 S |
| | | ₩ H7 | | | | | | | | | | ±0, | 1 | | | | 3 |
| 33 | M5 | 4 | M5 | M2,6 | M2 | M3 | 3 | 1 | 43 | 15 | 23 | | | 33 | 6,5 | 105 | 92,3 |
| 46 | M6 | 5 | M5 | M2,6 | M2 | M4 | 43 | | 60 | 28 | 32 | | | 46 | 9 | 142,5 | 123,8 |
| 40 | mo | , | 1115 | 1112,0 | 1112 | 111-1 | 7.2 | ,,, | 00 | 20 | , ,,, | | | 40 | , | 172,5 | 125,0 |
| Baugröße | L9 | L10 | L11 | L1 | 2 | | L13 | | L1 | 4 | | L15 | | L16 | L17 | L18 | L19 |
| 2445.030 | | 210 | | | S | | | S | | S | | S | | | | | |
| | | | | | | | | | ±0,04 | ±0,1 | 1 | | | | | | |
| 33 | 50 | 58 | 11 | 76 | 50,5 | 54 | 28 | 3,5 | 42 | 6 | 30 | 14, | 25 | 26 | 22 | 24 | 9 |
| 46 | 70 | 72,5 | 13 | 110 | 72,5 | 81 | 43 | 3,5 | 28 | 11 | 46 | 21, | 75 3 | 33,5 | 25 | 21,5 | 18 |
| | | | | | | | • | • | | | • | • | • | | • | • | |
| Baugröße | L20 | L21 | L22 | | L23 | L | 24 | T1 | T | 2 | T3 | T4 | T: | 5 | T6 | T7 | T8 |
| | | | | | S | | | | | | | | | | | | |
| | | | | | | | | | | | | | | | | | |
| | ±0,1 | | ±0,1 | | | | | | | | | | | | | | |
| 33 46 | ±0,1 51 65,5 | 2 2 | ±0,1 5 3,5 | 8 | 5 8 | _1 | 00 | 5,4 | . 8 | 3 | 2,5 2,5 | 10 | 4 | ' | 5 | 6 | 1 |

FESTO

Datenblat^{*}

| Bestellanga | aben – Elektr | oschlitten mit Standardschlitten | |
|-------------|---------------|----------------------------------|------------------------|
| Baugröße | Hub | Teile-Nr. Typ | Teile-Nr. Typ |
| | [mm] | | |
| | | Spindelsteigung 1 mm | Spindelsteigung 6 mm |
| 20 | 25 | 562758 EGSK-20-25-1P | 562761 EGSK-20-25-6P |
| | 75 | 562759 EGSK-20-75-1P | 562762 EGSK-20-75-6P |
| | 125 | 562760 EGSK-20-125-1P | 562763 EGSK-20-125-6P |
| | | | |
| Baugröße | Hub | Teile-Nr. Typ | Teile-Nr. Typ |
| | [mm] | | |
| | | Spindelsteigung 2 mm | Spindelsteigung 6 mm |
| 26 | 50 | 562764 EGSK-26-50-2P | 562768 EGSK-26-50-6P |
| | 100 | 562765 EGSK-26-100-2P | 562769 EGSK-26-100-6P |
| | 150 | 562766 EGSK-26-150-2P | 562770 EGSK-26-150-6P |
| | 200 | 562767 EGSK-26-200-2P | 562771 EGSK-26-200-6P |
| | | | |
| Baugröße | Hub | Teile-Nr. Typ | Teile-Nr. Typ |
| | [mm] | | |
| | | Spindelsteigung 6 mm | Spindelsteigung 10 mm |
| 33 | 100 | 562772 EGSK-33-100-6P | 562778 EGSK-33-100-10P |
| | 200 | 562773 EGSK-33-200-6P | 562779 EGSK-33-200-10P |
| | 300 | 562774 EGSK-33-300-6P | 562780 EGSK-33-300-10P |
| | 400 | 562775 EGSK-33-400-6P | 562781 EGSK-33-400-10P |
| | 500 | 562776 EGSK-33-500-6P | 562782 EGSK-33-500-10P |
| | 600 | 562777 EGSK-33-600-6P | 562783 EGSK-33-600-10P |
| | | | |
| Baugröße | Hub | Teile-Nr. Typ | Teile-Nr. Typ |
| | [mm] | | |
| | | Spindelsteigung 10 mm | Spindelsteigung 20 mm |
| 46 | 200 | 562784 EGSK-46-200-10P | 562790 EGSK-46-200-20P |
| | 300 | 562785 EGSK-46-300-10P | 562791 EGSK-46-300-20P |
| | 400 | 562786 EGSK-46-400-10P | 562792 EGSK-46-400-20P |
| | 500 | 562787 EGSK-46-500-10P | 562793 EGSK-46-500-20P |
| | 600 | 562788 EGSK-46-600-10P | 562794 EGSK-46-600-20P |
| | 800 | 562789 EGSK-46-800-10P | 562795 EGSK-46-800-20P |

FESTO

Bestellangaben – Produktbaukasten

| Be | stelltabelle | | | | | | | | | |
|----|-----------------------|------|--------------|------------------|------------|--------------|------------|------------------|--------------|-----------------|
| Ва | ugröße | | 15 | 20 | 26 | 33 | 46 | Bedin- gungen | Code | Eintrag Code |
| M | Baukasten-Nr. | | 562749 | 562750 | 562751 | 562752 | 562753 | 0 0 | | |
| _ | Antriebsfunktion | | | Schlittenantriel | | | | | EGSK | EGSK |
| | Baugröße | | 15 | 20 | 26 | 33 | 46 | | | |
| | | [mm] | | | - | | | | -25 | |
| | für Standardschlitten | | 50 | _ | 50 | - | | | -50 | |
| | | | 75 | | - | | | | -75 | |
| | | | 100 | - | 100 | | - | | -100 | |
| | | | - | 125 | - | | • | | -125 | |
| | | | - | | 150 | - | | | -150 | |
| | | | _ | | 200 | | | | -200 | |
| | | | - | | | 300 | | | -300 | |
| | | | - | | | 400 | | | -400 | |
| | | | - | | | 500 | | | -500 | |
| | | | - | | | 600 | | | -600 | |
| | | | - | | | | 800 | | -800 | |
| | | [mm] | - | | | 130 | - | | -130 | |
| | für Schlitten, kurz | | - | | | 230 | - | | -230 | |
| | | | - | | | | 240 | | -240 | |
| | | | _ | | | 330 | - | | -330 | |
| | | | - | | | | 340 | | -340 | |
| | | | - | | | 430 | - | | -430 | |
| | | | _ | | | 1520 | 440 | | -440 | |
| | | | _ | | | 530 | - | | -530 | |
| | | | _ | | | (20 | 540 | | -540 | |
| | | | _ | | | 630 | - | | -630 | |
| | | | _ | | | | 640 840 | | -640 -840 | |
| | Spindelsteigung | [mm] | 1 | | | | 840 | | -640 -1P | |
| | Spiride (Steigung | [] | 2 | - | 2 | | | | -1P -2P | |
| | | | _ | 6 | 2 | | _ | | -2P | |
| | | | _ | | I - | 10 | | | -10P | |
| | | | _ | | | 10 | 20 | | -20P | |
| 0 | Genauigkeit | | _ | Standardge | naujokojt | | | | | |
| ت | Genadiskeit | | Höhere Gen | | Hadiskeit | | | | -H | |
| | | | Präzisionsge | | | | | 1 | -P | |
| | Schlittenausführung | | Standardsch | | | | | | | |
| | mitteriadarum ung | | - | | urz | | - S | | | |
| | Zusatzschlitten | | Kein Zusatzs | schlitten | | Schlitten, k | | | | |
| | | | | ten (Zusatzschli | 2 | - Z | | | | |
| | | | | alls einen kurze | | | | | | |

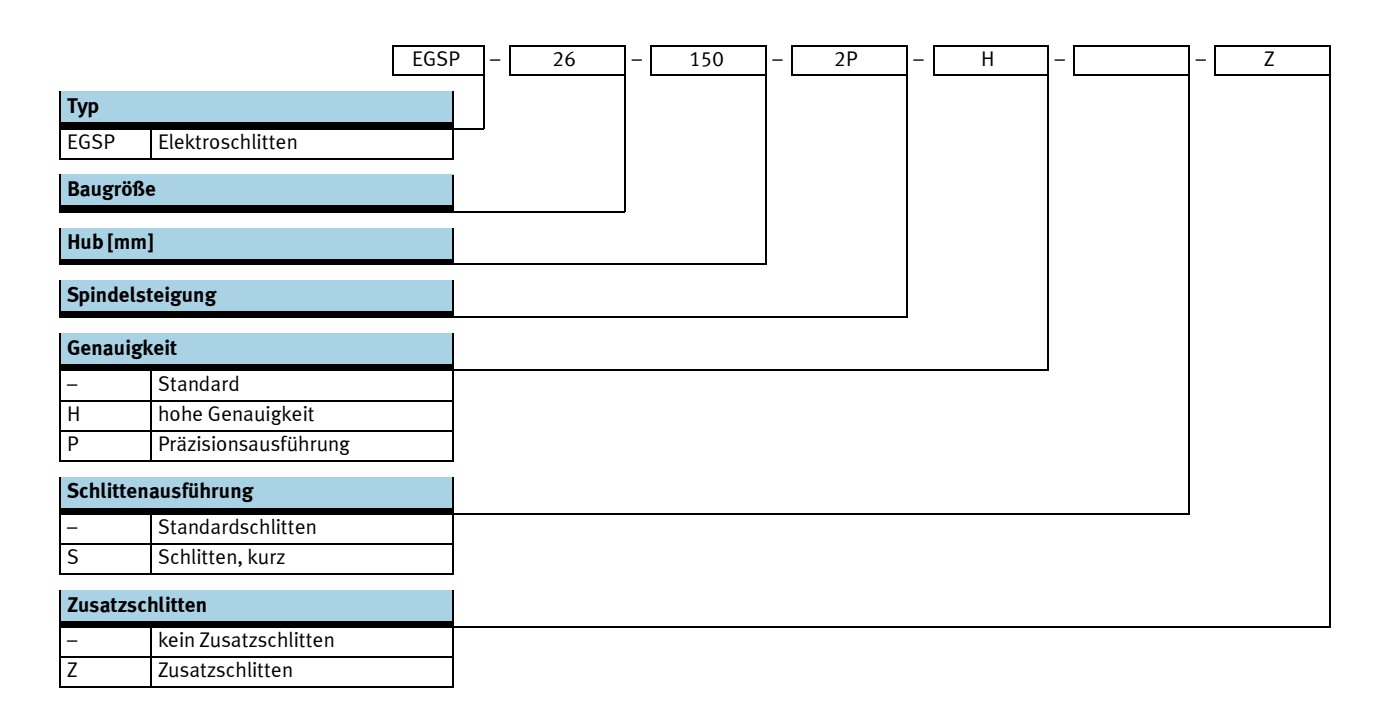
Bei Baugröße 33 nicht in Verbindung mit Hub für Standardschlitten 600 und Hub für Schlitten, kurz 630
Bei Baugröße 46 nicht in Verbindung mit Hub für Standardschlitten 800 und Hub für Schlitten, kurz 840

| 2 | Z | Bei Baugröße 15 nicht in Verbindung mit Hub für Standardschlitten 25 und Hub für Standardschlitten 50 |
|---|---|---|
| | | Bei Baugröße 20 nicht in Verbindung mit Hub für Standardschlitten 25 |
| | | Bei Baugröße 26 nicht in Verbindung mit Hub für Standardschlitten 50 |
| | | Bei Baugröße 33 nicht in Verbindung mit Hub für Standardschlitten 100 |

| Übertrag Bestellcode | | | | | | | | | | | | | | | |
|----------------------|------|---|--|---|---|-----|--|---|--|---|--|---|--|---|--|
| | EGSK | - | | - | - | - [| | - | | - | | - | | - | |

FESTO

Typenschlüssel



FESTO

Datenblatt

Funktion





Hublänge 25 ... 840 mm



| Allgemeine Technische Dater | n | | | | | | | | | | | | | | |
|------------------------------------|--------------------|-----------|--------------------|-------------|-----------|-------------|-------------|-------|---------|--------|-------|--|--|--|--|
| Baugröße | | | 20 | | 26 | | 33 | | | 46 | | | | | |
| Spindelsteigung | | | 1 | 6 | 2 | 6 | 6 | 10 | 20 | 10 | 20 | | | | |
| | Code ¹⁾ | | | | | | | | | | | | | | |
| Konstruktiver Aufbau | | | Elektrome | echanische | Linearach | se mit Kuge | elumlaufspi | indel | | | | | | | |
| Führung | | | Kugelumlaufführung | | | | | | | | | | | | |
| Einbaulage | <u> </u> | | | | | beliebig | | | | | | | | | |
| Befestigungsart der Nutzlast | | Innengew | inde | | | | | | | | | | | | |
| | | Passstift | | | | | | | | | | | | | |
| Arbeitshub ²⁾ | [mm] | 25 125 | | 50 200 | | 100 600 | | | 200 800 | | | | | | |
| | S | [mm] | - | | - | | 130 63 | 0 | | 240 84 | 0 | | | | |
| Max. Vorschubkraft | -/H ³⁾ | [N] | 69 | 72 | 168 | 164 | 370 | 227 | 165 | 365 | 267 | | | | |
| F _{x,max} | P ⁴⁾ | [N] | 87 | 112 | 212 | 212 | 466 | 286 | 208 | 460 | 337 | | | | |
| Max. Antriebsdrehmoment | $-/H^{3)}$ | [Ncm] | 1,1 | 6,9 | 5,3 | 16 | 35 | 36 | 53 | 58 | 85 | | | | |
| M _{Antr,max} | P ⁴⁾ | [Ncm] | 1,4 | 11 | 6,7 | 20 | 45 | 46 | 66 | 73 | 107 | | | | |
| Leerlaufdrehmoment | -/H | [Ncm] | 0,5 | 0,5 | 1,5 | 1,5 | 7 | 7 | 7 | 10 | 10 | | | | |
| M _{leer} | Р | [Ncm] | 1,2 | 1,2 | 4,0 | 4,0 | 15 | 15 | 15 | 17 | 17 | | | | |
| Max. Drehzahl ⁵⁾ | | [1/min] | 6 000 | 6 000 | 6 000 | 6 000 | 6 000 | 6 000 | 6 000 | 6 000 | 6 000 | | | | |
| Max. Geschwindigkeit ⁵⁾ | -/H | [m/s] | 0,1 | 0,6 | 0,2 | 0,6 | 0,6 | 1 | 2 | 1 | 2 | | | | |
| | Р | [m/s] | 0,1 | 0,6 | 0,2 | 0,6 | 0,6 | 1 | 2 | 1 | 2 | | | | |
| Max. Beschleunigung | | $[m/s^2]$ | 10 | | 10 | | 20 | | | 20 | | | | | |
| Referenzierung | • | induktive | r Näherung | sschalter S | SIES-8M | | | | • | | | | | | |

- Variantencode → 24
 Maximaler Verfahrweg → 33
 In Verbindung mit einem Zusatzschlitten reduziert sich der Arbeitshub um die Länge des Zusatzschlittens und den Abstand zwischen beiden Schlitten.
- 3) Belastungen basieren auf Lebensdauervorgabe 5 x 10⁸ Umdrehungen
- 4) Belastungen basieren auf Lebensdauervorgabe 2,5 x 10⁸ Umdrehungen
- 5) Reduzierte Geschwindigkeiten bei Baugrößen 33 und 46 mit langen Hüben → 27

| Betriebs- und Umweltbedingung | en | |
|-------------------------------|------|----------------------------|
| Umgebungstemperatur | [°C] | 0 +40 |
| Relative Luftfeuchtigkeit | [%] | 0 95 (nicht kondensierend) |

| Gewichte [kg] | | | | | |
|------------------------|--------------------|------|------|------|------|
| Baugröße | | 20 | 26 | 33 | 46 |
| | Code ¹⁾ | | | | |
| Grundgewicht bei | _ | 0,38 | 0,78 | 1,38 | 3,60 |
| 0 mm Hub ²⁾ | S | - | - | 1,30 | 3,30 |
| Gewichtszuschlag | _ | 0,27 | 0,42 | 0,72 | 1,40 |
| pro 100 mm Hub | | | | | |
| Bewegte Masse | | 0,07 | 0,15 | 0,31 | 0,91 |
| | S | - | - | 0,17 | 0,57 |
| Zusatzschlitten Z | _ | 0,07 | 0,15 | 0,31 | 0,91 |
| | S | - | - | 0,17 | 0,57 |

¹⁾ Variantencode 🗲 24

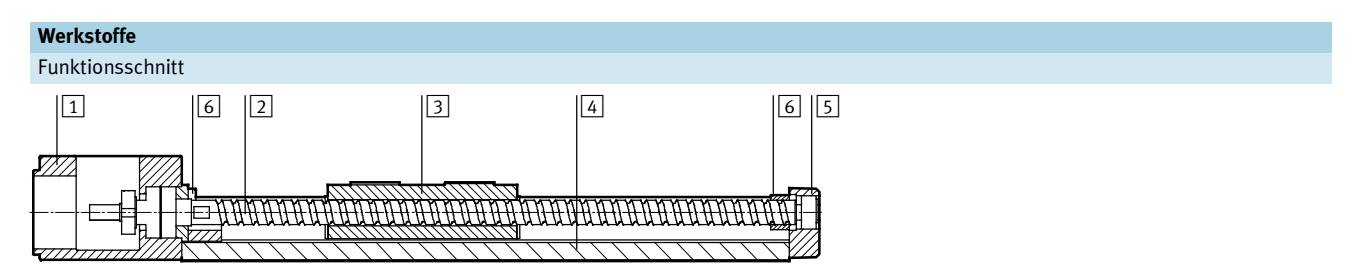
²⁾ Inkl. Schlitten, ohne Zusatzschlitten

FESTO

Datenblatt

| Genauigkeitsdaten [µm] | | | | | | |
|------------------------------------|---------|--------------------|-----|-----|-----|-----|
| Baugröße | | | 20 | 26 | 33 | 46 |
| | Hub | Code ¹⁾ | | | | |
| Wiederholgenauigkeit ²⁾ | | - | ±10 | ±10 | ±10 | ±10 |
| | | Н | ±5 | ±5 | ±5 | ±5 |
| | | P | ±3 | ±3 | ±3 | ±3 |
| Laufparallelität | 25 340 | Н | 25 | 25 | 25 | 35 |
| | 400 540 | Н | - | - | 35 | 35 |
| | 600 640 | Н | - | - | 40 | 40 |
| | 800 840 | Н | - | - | - | 50 |
| | 25 340 | Р | 10 | 10 | 10 | 15 |
| | 400 540 | Р | - | - | 15 | 15 |
| | 600 640 | Р | - | - | 20 | 20 |
| Max. Reversierspiel | | _ | 20 | 20 | 20 | 20 |
| | | Н | 10 | 10 | 20 | 20 |
| | | Р | 3 | 3 | 3 | 3 |

Variantencode → 24
 Die erzielbare Wieder Die erzielbare Wiederholgenauigkeit eines Motor-Achs-Systems wird auch von der Winkelauflösung des Motors und den gewählten Reglerparametern beeinflusst. Die angegebene Wiederholgenauigkeit kann daher nicht mit allen Motoren erreicht werden



| Elektroschlitten | |
|-------------------|----------------------------------|
| 1 Antriebsdeckel | Aluminium-Druckguss, beschichtet |
| 2 Spindel | Stahl |
| 3 Schlitten | Stahl |
| 4 Profil | hochlegierter Stahl |
| 5 Abschlussdeckel | Aluminium-Druckguss, beschichtet |
| 6 Puffer | Ethylenvinylacetet-Copolymer |
| Werkstoff-Hinweis | RoHS-konform |
| | LABS-haltige Stoffe enthalten |

| Massenträgheitsmo | ment | | | | | | | | | | |
|--------------------------------|--------------------|-----------------------------|-------|-------|-------|-------|-------|------|-------|-------|-------|
| Baugröße | | | 20 | | 26 | 26 | | 33 | | | |
| Spindelsteigung | | | | 6 | 2 | 6 | 6 | 10 | 20 | 10 | 20 |
| | Code ¹⁾ | | | | | | | | | | |
| Jo | | [kg mm ²] | 0,087 | 0,143 | 0,355 | 0,479 | 2,72 | 3,22 | 5,57 | 8,51 | 15,42 |
| | S | [kg mm ²] | _ | _ | - | _ | 1,93 | 2,21 | _ | 6,10 | 10,43 |
| J _H pro 100 mm Hub | | [kg mm ² /100mm] | 0,099 | | 0,314 | • | 0,766 | • | • | 3,877 | |
| J _L pro kg Nutzlast | | [kg mm ² /kg] | 0,03 | 0,91 | 0,10 | 0,91 | 0,91 | 2,53 | 10,13 | 2,53 | 10,13 |
| J _W pro Zusatz- | | [kg mm ²] | 0,002 | 0,058 | 0,016 | 0,14 | 0,28 | 0,79 | 3,14 | 2,31 | 9,22 |
| schlitten | S | [kg mm ²] | _ | _ | - | - | 0,16 | 0,43 | - | 1,44 | 5,78 |

¹⁾ Variantencode → 24

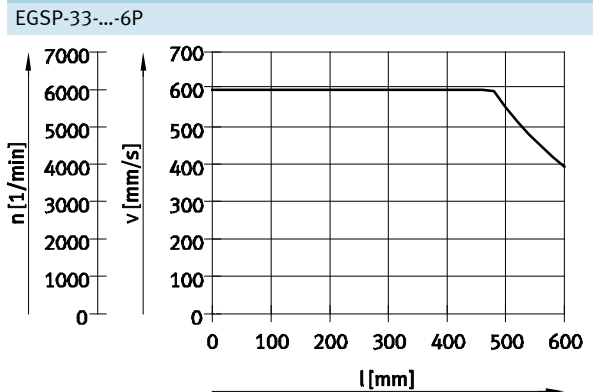
Das Massenträgheitsmoment J_A der gesamten Achse wird wie folgt berech $J_A = J_O + J_W + J_H x$ Arbeitshub + $J_L x$ $m_{Nutzlast}$

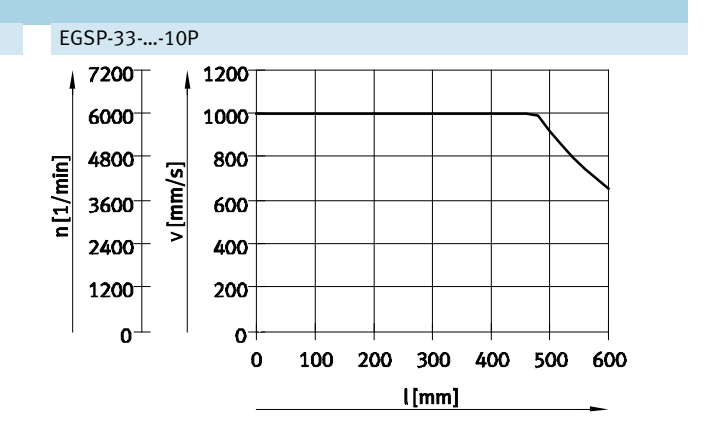
net:

FESTO

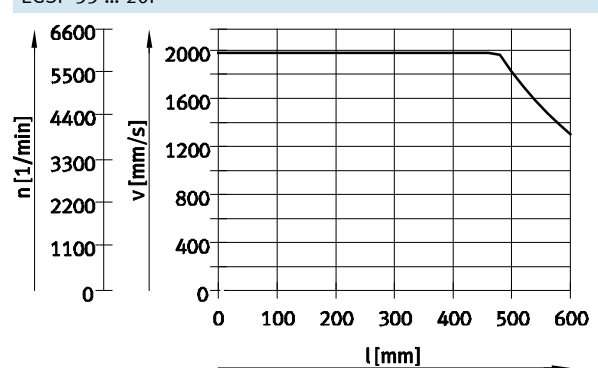
Datenblatt



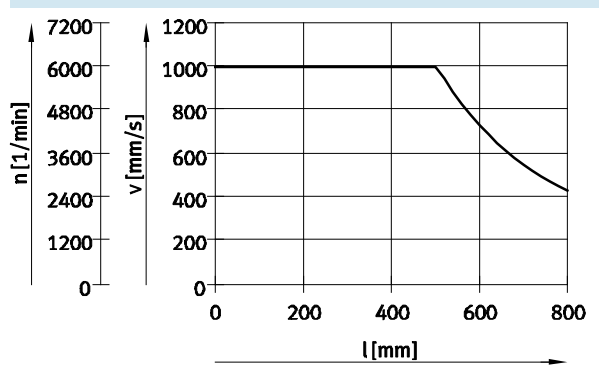




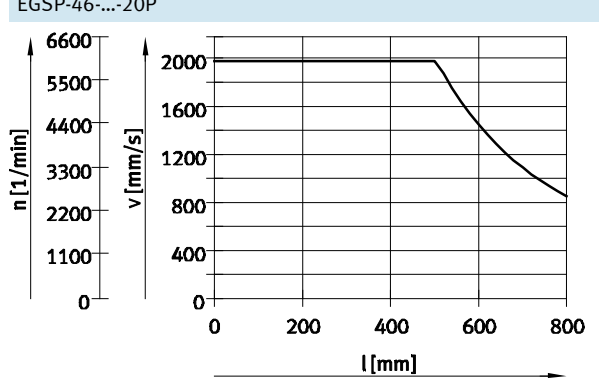
EGSP-33-...-20P



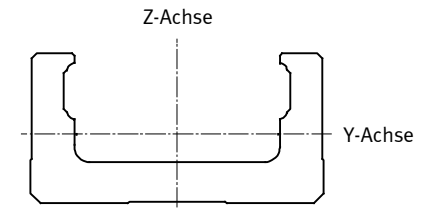




EGSP-46-...-20P



Flächenmomente 2. Grades

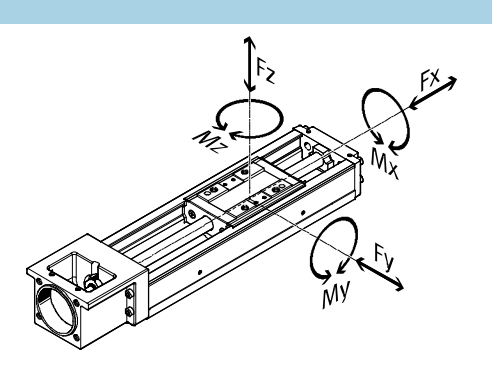


| Baugröße | 20 | 26 | 33 | 46 |
|-----------------------|--------|---------|---------|-----------|
| ly [mm ⁴] | 6 000 | 16 600 | 53 500 | 205 000 |
| Iz [mm ⁴] | 61 400 | 148 000 | 352 000 | 1 450 000 |

Datenblatt

Belastungskennwerte

Die angegebenen Kräfte und Momente beziehen sich auf die Mittelachse der Spindel. Der Koordinaten-Nullpunkt ist der Schnittpunkt aus Führungsmitte und Längenmitte des Schlittens.





| Baugröße | | | | 20 | | 26 | 26 | | 33 | | | |
|---|--------------------|---|------|-------|-------|-------|-------|-------|---------|-------|-------|-------|
| Spindelsteigung | | | | 1 | 6 | 2 | 6 | 6 | 10 | 20 | 10 | 20 |
| | Code ²⁾ | | | | | | | | | | | |
| Fy _{max.} , Fz _{max.} | −/H ³⁾ | - | [N] | 2 325 | 1 279 | 3 991 | 2 767 | 3 619 | 3 052 | 2 422 | 7 092 | 5 629 |
| | P ⁴⁾ | - | [N] | 2 929 | 1 612 | 5 028 | 3 486 | 4 559 | 3 845 | 3 052 | 8 935 | 7 092 |
| | $-/H^{3)}$ | S | [N] | - | - | - | - | 2 405 | 2 029 | - | 5 099 | 4 047 |
| | P ⁴⁾ | S | [N] | - | - | - | - | 3 031 | 2 5 5 6 | - | 6 424 | 5 099 |
| Mx _{max} . | −/H ³⁾ | - | [Nm] | 28,8 | 15,9 | 64,7 | 44,8 | 71,7 | 60,4 | 48,0 | 205 | 163 |
| | P ⁴⁾ | - | [Nm] | 36,3 | 20,0 | 81,5 | 56,5 | 90,3 | 76,1 | 60,4 | 258 | 205 |
| | $-/H^{3)}$ | S | [Nm] | - | - | - | - | 47,6 | 40,2 | - | 147 | 117 |
| | P ⁴⁾ | S | [Nm] | - | - | - | - | 60,0 | 50,6 | - | 186 | 147 |
| My _{max.} , Mz _{max.} | −/H ³⁾ | - | [Nm] | 9,9 | 5,5 | 25,1 | 17,4 | 25,5 | 21,5 | 17,1 | 74,6 | 59,2 |
| | P ⁴⁾ | - | [Nm] | 12,5 | 6,9 | 31,6 | 21,9 | 32,1 | 27,1 | 21,5 | 94,0 | 74,6 |
| | $-/H^{3)}$ | S | [Nm] | - | - | - | - | 10,1 | 8,5 | - | 34,9 | 27,7 |
| | P ⁴⁾ | S | [Nm] | _ | _ | _ | _ | 12,7 | 10,7 | _ | 44,0 | 34,9 |

- Berechnet mit einem Geschwindigkeit-Lastfaktor $f_W = 1,2$

- 20 Variantencode → 24
 3) Belastungen basieren auf Lebensdauervorgabe 5 x 10⁸ Umdrehungen und Lastfaktor f_w=1,2
 4) Belastungen basieren auf Lebensdauervorgabe 2,5 x 10⁸ Umdrehungen und Lastfaktor f_w=1,2

| Tragzahlen | | | | | | | | | | | |
|--|--------------------------------|-----|-------|-------|-------|-------|-------|-------|-------|-------|-------|
| • | | | 1 | | 1 | | 1 | | | 1 | |
| Baugröße | | | 20 | | 26 | | 33 | | | 46 | |
| Spindelsteigung | delsteigung Code ¹⁾ | | | 6 | 2 | 6 | 6 | 10 | 20 | 10 | 20 |
| | Code ¹⁾ | | | | | | | | | | |
| Kugelgewindetrieb | | | | | | | | | | | |
| Statisch c _o , _{KGT} | –/H | [N] | 1 170 | 1 450 | 4 020 | 3 510 | 6 290 | 3 780 | 3 770 | 6 990 | 7 040 |
| | Р | [N] | 1 170 | 1 600 | 4 020 | 3 900 | 6 290 | 3 780 | 3 770 | 6 990 | 7 040 |
| Dynamisch c _{dyn} ,KGT | -/H ²⁾ | [N] | 660 | 860 | 2 350 | 1 950 | 4 400 | 2 700 | 2 620 | 4 350 | 4 240 |
| | P ²⁾ | [N] | 660 | 1 060 | 2 350 | 2 390 | 4 400 | 2 700 | 2 620 | 4 350 | 4 240 |
| Festlager | | | | | | | | | | | |
| Statisch co,bearing | | [N] | 735 | | 1 230 | | 2 700 | | | 3 330 | |
| Dynamisch c _{dyn} , bearing | 2) | [N] | 1 150 | | 2 000 | | 6 250 | | | 6 700 | |

- 1) Variantencode → 24
- 2) Dynamische Tragzahlen beziehen sich auf eine Basislebensdauer von 10⁶ Umdrehungen

FESTO

Datenblatt

| Tragzahlen | | | | | | | | | | | | | |
|---|----------|---------|-----------|-------|---|--------|----|--------|----|--------|--------|--|--|
| Baugröße | Baugröße | | | | | 26 | | 33 | | 46 | | | |
| Spindelsteigung | | 1 | 6 | 2 | 6 | 6 | 10 | 20 | 10 | 20 | | | |
| Linearführung | | | | | | | | | | | | | |
| Statisch c _o ,guide | | - | [N] | 8 030 | | 16 500 | | 20 400 | | 45 900 | | | |
| | - | S | [N] | - | | _ | | 11 500 | | _ | 28 700 | | |
| Dynamisch c _{dyn} ,guide ²⁾ | | - | [N] 4 770 | | | 10 318 | | 13 493 | | | 31 351 | | |
| | - | S | [N] | - | | _ | | 8 969 | | _ | 22 541 | | |
| Momenten-Äquivalenzfak | ctoren | | | | | | | • | | | | | |
| k _x | | _ | [1/m] | 80,7 | | 61,7 | | 50,5 | | | 34,6 | | |
| | - | S | [1/m] | - | | _ | | 50,5 | | _ | 34,6 | | |
| k _y , k _z | | - [1/m] | | | | 159,1 | | 142 | | | 95,1 | | |
| | - | S | [1/m] | - | | - | | 239,1 | | - | 146,1 | | |

¹⁾ Variantencode → 24

Geschwindigkeitsabhängiger Lastfaktor fw

 $fw = 1,0 ... 1,2 (v \le 0,25 \text{ m/s})$

 $fw = 1,2 ... 1,5 (0,25 \text{ m/s} \le v \le 1,0 \text{ m/s})$

 $fw = 1.5 ... 2.0 (1.0 \text{ m/s} \le v \le 2.0 \text{ m/s})$

 $fw = 2.0 ... 3.5 (v \ge 2.0 m/s)$

Berechnung der maximalen Vorschubkraft F_x

$$F_{x,max} = \frac{1}{f_W} \times \frac{Min[C_{dyn,KGT}; C_{dyn,bearing}]}{\sqrt[3]{\frac{L_{ref,rot}}{10^6}}}$$

Berechnung der maximalen Kräfte $F_{y/z}$, und Momente $M_{x/y/z}$

$$F_{y/z,max} = \frac{1}{f_w} \times \frac{C_{dyn,guide}}{\sqrt[3]{\frac{L_{ref,km}}{100km}}}$$

$$M_{x/y/z,max} = \frac{1}{k_{x/y/z}} \times \frac{1}{f_w} \times \frac{C_{dyn,guide}}{\sqrt[3]{\frac{L_{ref,km}}{100km}}}$$

²⁾ Dynamische Tragzahlen beziehen sich auf eine Basislebensdauer von 100 km

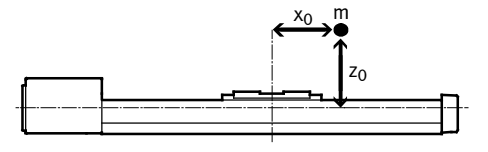
FESTO

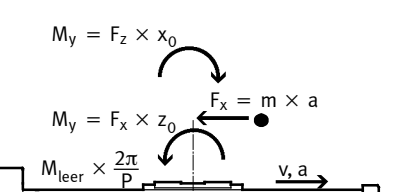
Datenblatt

| Berechnung der Lebensdauer | Berechnung der Lebensdauer | | | | | | | | | | | | | | |
|--------------------------------------|----------------------------|-----------------------|---------------------|-------|-------|-------|-------|-------|--------|-------|--------|--|--|--|--|
| Baugröße | 20 | | 26 | | 33 | | 46 | | | | | | | | |
| Spindelsteigung P | 1 | 6 | 2 | 6 | 6 | 10 | 20 | 10 | 20 | | | | | | |
| | Code ¹⁾ | | | | | | | | | | | | | | |
| Referenz-Lebensdauer | -/H | | 5 x 10 ⁸ | | | | | | | | | | | | |
| in Umdrehungen, L _{ref,rot} | 2,5 x 10 ⁸ | 2,5 x 10 ⁸ | | | | | | | | | | | | | |
| Referenz-Lebensdauer | -/H | [km] | 500 | 3 000 | 1 000 | 3 000 | 3 000 | 5 000 | 10 000 | 5 000 | 10 000 | | | | |
| in Kilometer, L _{ref,km} | [km] | 250 | 1 500 | 500 | 1 500 | 1 500 | 2 500 | 5 000 | 2 500 | 5 000 | | | | | |

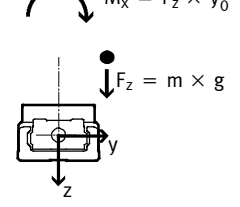
1) Variantencode → 24

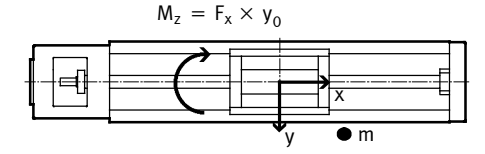
1 Darstellung der Belastungen



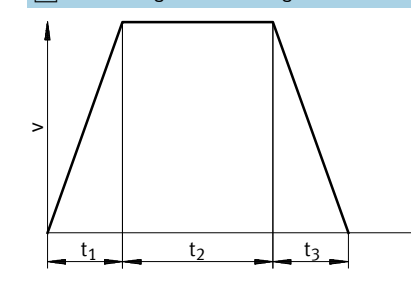








2 Ermittlung der Belastungen über den Verfahrzyklus



| $q_1 = \frac{t_1}{t_{ges}}$ | $q_2 = \frac{t_2}{t_{ges}}$ | $q_3 = \frac{t_3}{t_{ges}}$ |
|-----------------------------|-----------------------------|-----------------------------|
| $t_{ges} = t_1 + t_2$ | + t ₃ | |

| V | Geschwindigkeit |
|--------------------|---------------------|
| t_1 | Beschleunigungszeit |
| t_2 | Konstantfahrt-Zeit |
| t_3 | Verzögerungszeit |
| q _{1/2/3} | rel. Zeitanteil der |
| | Zyklusphasen |
| t _{ges} | Zykluszeit |
| | |

Kugelgewindetrieb

 $\begin{aligned} & \text{Für } t_1 \text{:} & \quad F_{x1} = - (\text{m} \times \text{a}) - (\text{M}_{\text{leer}} \times \frac{2\pi}{P}) \\ & \text{Für } t_2 \text{:} & \quad F_{x2} = - (\text{M}_{\text{leer}} \times \frac{2\pi}{P}) \end{aligned}$

Für t₃: $F_{x3} = m \times a - (M_{leer} \times \frac{2\pi}{P})$

 $F_{x,dyn} = \sqrt[3]{q_1 \times |F_{x1}|^3 + q_2 \times |F_{x2}|^3 + q_3 \times |F_{x3}|^3}$

 $\begin{array}{c} F_{x1/2/3} & \quad \text{berechnete Kraftbe-} \\ \quad \text{lastung pro Zyklus-} \\ \quad \text{phase} \end{array}$

F_{x,dyn} berechnete mittlere Kraftbelastung m Nutzlast (Massenschwerpunkt) a Beschleunigung

a Beschleunigung
M_{leer} Leerlaufdrehmoment → 25
P Spindelsteigung

→ 25 rel. Zeitanteil der

q_{1/2/3} rel. Zeitanteil d Zyklusphasen

FESTO

berechnete Kraftbe-

lastung pro Zyklus-

berechnete Momen-

berechnete mittlere

berechnete mittlere Momentenbelastung

Nutzlast (Massen-

schwerpunkt)
Fallbeschleunigung

Beschleunigung Schwerpunkt-Ab-

punkt

stände der Nutzlast

zum Schlitten-Mittel-

rel. Zeitanteil der

Zyklusphasen

Kraftbelastung

tenbelastung pro Zyklusphase

phase

 $F_{y1/2/3}$

 $F_{z1/2/3}$

 $M_{x1/2/3}$

 $M_{y1/2/3}$, $M_{z1/2/3}$

 $F_{v/z,dyn}$

 $M_{x/y/z,dyn}$

 x_0, y_0, z_0

q_{1/2/3}

 $F_{x,max}$

m

g

Datenblatt

2 Ermittlung der Belastungen über den Verfahrzyklus Linearführung

Linearführung Für t_1 : $a \rightarrow v \rightarrow v \rightarrow v_1 = 0$

$$F_{z1} = m \times g$$

$$M_{x1} = F_z \times y_0 = m \times g \times y_0$$

$$\mathsf{M}_{\mathsf{y}1} = \, -\, \mathsf{F}_{\mathsf{z}} \times \mathsf{x}_{\mathsf{0}} + \, \mathsf{F}_{\mathsf{x}} \times \mathsf{z}_{\mathsf{0}} = \, -\, \mathsf{m} \times \mathsf{g} \times \mathsf{x}_{\mathsf{0}} + \, \mathsf{m} \times \mathsf{a} \times \mathsf{z}_{\mathsf{0}}$$

$$M_{z1} = F_x \times y_0 = m \times a \times y_0$$

Für
$$t_2$$
: $a = 0$, $v \rightarrow$

$$F_{v2} = 0$$

$$F_{72} = m \times g$$

$$M_{x2} = F_z \times y_0 = m \times g \times y_0$$

$$M_{v2} = -F_z \times X_0 = -m \times g \times X_0$$

$$M_{72} = 0$$

Für t_3 : $a \leftarrow$, $v \rightarrow$

$$F_{v3} = 0$$

$$F_{73} = m \times g$$

$$M_{x3} = F_z \times y_0 = m \times g \times y_0$$

$$M_{v3} = -F_z \times x_0 - F_x \times z_0 = -m \times g \times x_0 - m \times a \times z_0$$

$$M_{z3} = -F_x \times y_0 = -m \times a \times y_0$$

$$F_{y,dyn} = \sqrt[3]{q_1 \times |F_{y1}|^3 + q_2 \times |F_{y2}|^3 + q_3 \times |F_{y3}|^3}$$

$$F_{z,dyn} = \sqrt[3]{q_1 \times |F_{z1}|^3 + q_2 \times |F_{z2}|^3 + q_3 \times |F_{z3}|^3}$$

$$M_{x,dyn} = \sqrt[3]{q_1 \times |M_{x1}|^3 + q_2 \times |M_{x2}|^3 + q_3 \times |M_{x3}|^3}$$

$$\rm M_{y,dyn} = \sqrt[3]{q_1 \times |M_{y1}|^3 + q_2 \times |M_{y2}|^3 + q_3 \times |M_{y3}|^3}$$

$$M_{z,dyn} = \sqrt[3]{q_1 \times |M_{z1}|^3 + q_2 \times |M_{z2}|^3 + q_3 \times |M_{z3}|^3}$$

3 Summenbelastung

Kugelgewindetrieb

$$\frac{|F_{x,dyn}|}{F_{x,max}} \leq \, f_v$$

| F _{x,dyn} | berechnete mittlere |
|--------------------|---------------------|
| | Kraftbelastung |

Linearführung

$$\frac{|F_{y,dyn}|}{F_{y,max}} + \frac{|F_{z,dyn}|}{F_{z,max}} + \frac{|M_{x,dyn}|}{M_{x,max}} + \frac{|M_{y,dyn}|}{M_{y,max}} + \frac{|M_{z,dyn}|}{M_{z,max}} \leq f_v$$

$$\begin{array}{cc} F_{y/z,dyn} & & \text{berechnete mittlere} \\ & & \text{Kraftbelastung} \end{array}$$

$$F_{y/z,max}$$
 max. zulässige Kraft-

$$M_{x/y/z,dyn}$$
 berechnete mittlere Momentenbelastung

$$M_{x/y/z,max}$$
 max. zulässige Momentenbelastung

FESTO

Datenblatt

4 Ermittlung des Belastungs-Vergleichsfaktors f

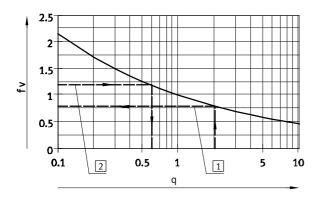
| f | _ 1_ | mit | a _ L _{cal} | lc,km _ | L _{calc,rot} |
|----|---------------|-------|-------------------------|---------|-----------------------|
| ١٧ | _ <u></u> 3⁄q | IIIIL | $q - \overline{L_{re}}$ | ef.km | L _{ref.rot} |

für q = 1:

Berechnete Lebensdauer (hier Wunsch-Lebensdauer) $L_{calc,km} = 1 \times Referenz$ -Lebensdauer $L_{ref,km}$ ergibt sich $f_v = 1$

für q ≠ 1:

Berechnete Lebensdauer (hier Wunsch-Lebensdauer) $L_{calc,km} = q \times Referenz$ -Lebensdauer $L_{ref,km}$ f_v ablesen (\rightarrow Diagramm) oder berechnen



Beispiel 1
 Beispiel 1
 ■ Beispiel 1

2 → Beispiel 2

| f_V | Belastungs-Ver- |
|-----------------------|--------------------|
| | gleichsfaktor |
| q | Quotient aus |
| | Wunsch-Lebens- |
| | dauer zu Referenz- |
| | Lebensdauer |
| L _{calc, km} | berechnete Lebens- |
| | dauer in km |
| L _{ref, km} | Referenz-Lebens- |
| | dauer in km 🗲 30 |
| | |

gen L_{ref, rot} Referenz-Lebens-

dauer in Umdrehungen → 30

berechnete Lebens-

dauer in Umdrehun-

| 5 | Berechnungsbeispiele |
|-----|----------------------|
| Bei | spiel 1: |

EGSP-26-...-2P-H-...

 $L_{ref,km} = 1 000 \text{ km}$ $L_{calc,km} = 2 000 \text{ km}$

 $q = \frac{2000 \text{km}}{1000 \text{km}} = 2,0$

 $f_v = \frac{1}{\sqrt[3]{q}} = 0,79$

Ergebnis:

Eine Wunsch-Lebensdauer von 200% der Referenz-Lebensdauer bedeutet, dass die zulässige Summenbelastung um 21% niedriger sein muss. Beispiel 2:

Ergibt sich aus der Berechnung der Summenbelastung ein Belastungs-Vergleichsfaktor $f_V = 1,2$, so beträgt die rechnerische Lebensdauer nur noch ca. 60% ($x = 0,6 \Rightarrow$ Diagramm) der Referenz-Lebensdauer.

$$q = \frac{1}{f_v^3} = 0,58$$

L_{calc, rot}

6 Statische Dimensionierung

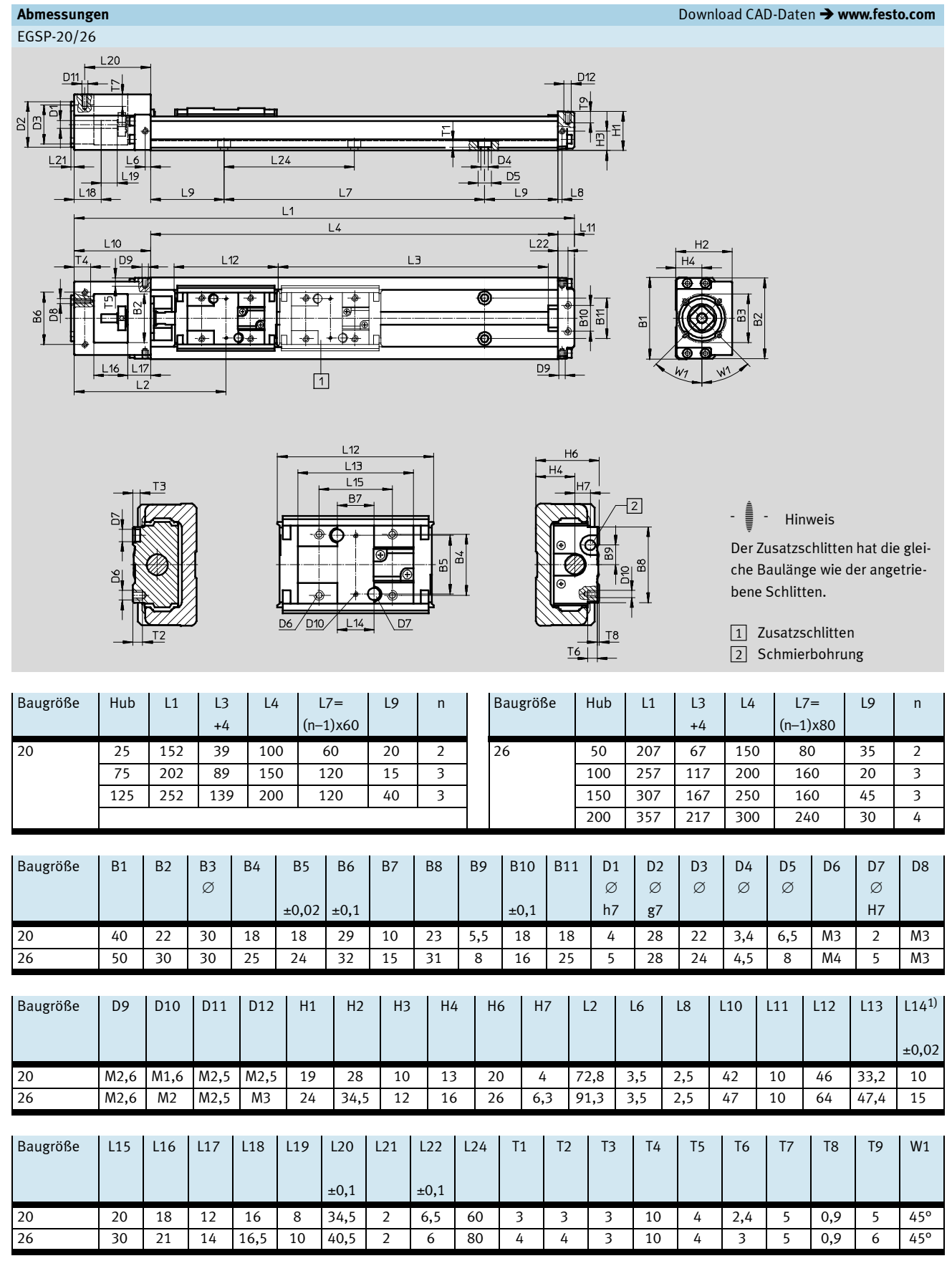
Kugelgewindetrieb

$$F_{x,stat} = \text{Max}[F_{x1}, F_{x2}, F_{x3}] \leq \frac{c_{o, KGT}}{f_s} \\ F_{x,stat} = \text{Max}[F_{x1}, F_{x2}, F_{x3}] \leq \frac{c_{o, KGT}}{f_s} \\ F_{x,stat} = \text{Max}[F_{x1}, F_{x2}, F_{x3}] \leq \frac{c_{o, KGT}}{f_s} \\ F_{x,stat} = \text{Max}[F_{x1}, F_{x2}, F_{x3}] \leq \frac{c_{o, KGT}}{f_s} \\ \text{berechnete Kraft-} \\ \text{belastung pro} \\ \text{belastung pro} \\ \text{Zyklusphase} \\ F_{x1/2/3} \\ \text{berechnete Kraftbe-} \\ \text{lastung pro Zyklus-} \\ \text{stung } f_s = 1, 0 \dots 3, 0 \\ \text{phase} \\ \text{stung } f_s = 1, 0 \dots 3, 0 \\ \text{phase} \\ \text{stung for a proof of the proof$$

Linearführung

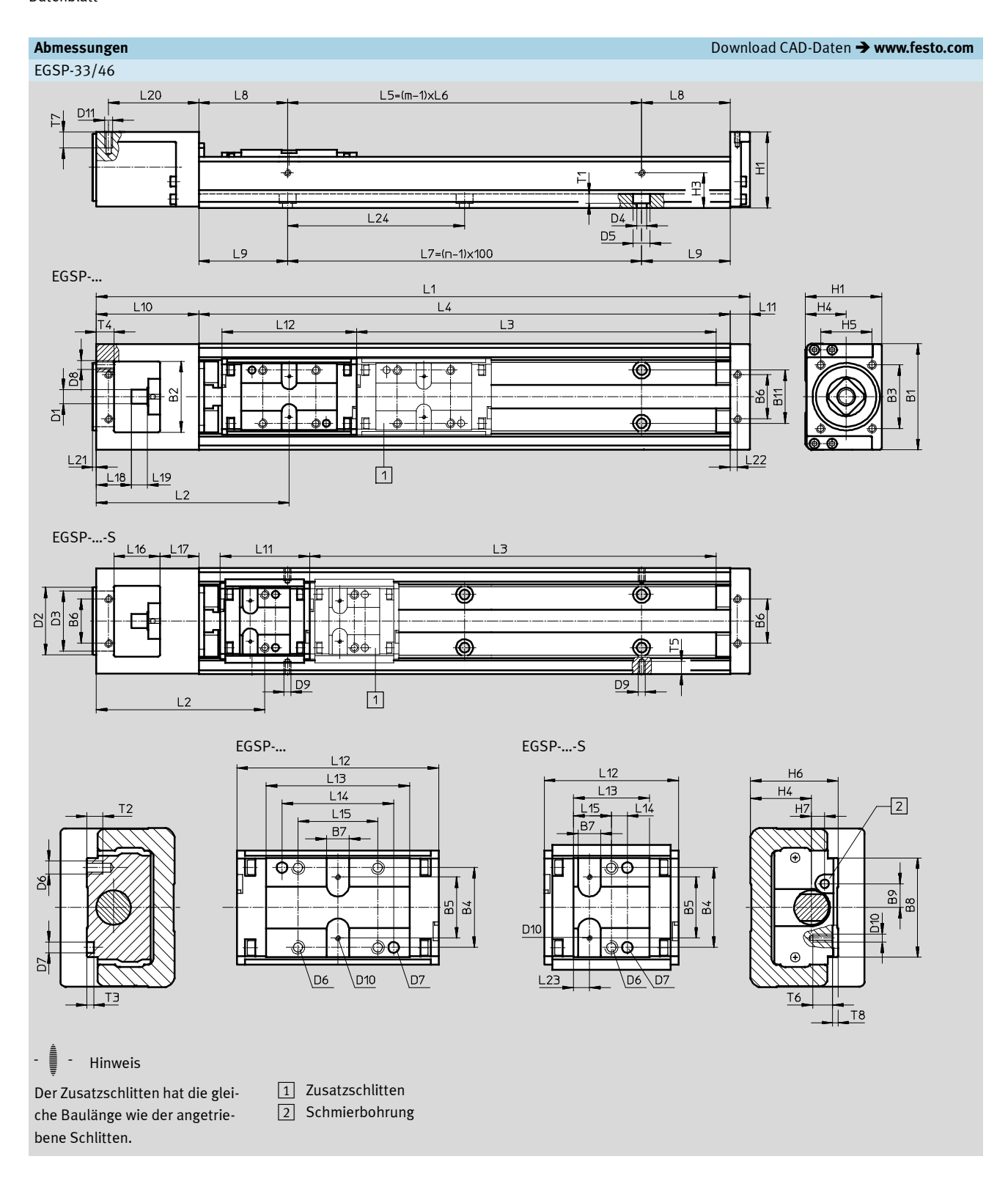
$$F_{y,stat} = \text{Max}[F_{y1}, F_{y2}, F_{y3}] \leq \frac{c_{o,guide}}{f_s} \qquad \qquad F_{y/z,stat} \qquad \text{Maximalwert der berechneten Kraft-berechneten Kraft-belastung pro} \\ F_{z,stat} = \text{Max}[F_{z1}, F_{z2}, F_{z3}] \leq \frac{c_{o,guide}}{f_s} \qquad \qquad belastung pro \\ Zyklusphase \qquad tenbelastung pro \\ Zyklusphase \qquad tenbelastung pro \\ Zyklusphase \qquad Zyklusphase \qquad Zyklusphase \qquad Zyklusphase \qquad Zyklusphase \qquad X_{xy/z,stat} \qquad Maximalwert der \qquad Zyklusphase \qquad Statische Tragzahl Kugelgewindetrieb \qquad Derechneten Momentenbelastung pro Zyklusphase \qquad Year Sulling pro Zyklusphase \qquad Year Sulling$$

FESTO



¹⁾ Abstand der Passbohrung

FESTO



FESTO

| Baugröße | Hub | L | .1 | | L3 +4 | | L4 | L5 | | L6 | | L7 | L8 | | m | n |
|---------------------|------|------|------------|------------|------------|---------|------|------|-------|-----------|-----|------------|----------|----------------|-------|-------|
| | | | - | | S | | | | | | | | | | | |
| 33 | 100 | 2 | 69 | 103 | 130 | | 200 | 100 | | 100 |) | 100 | 50 | | 2 | 2 |
| | 200 | 3 | 69 | 203 | 230 | | 300 | 200 | 200 2 | |) | 200 | 50 | | 2 | 3 |
| | 300 | 4 | 69 | 303 | 330 | | 400 | 200 | | 200 | | 300 | 100 | | 2 | 4 |
| | 400 | | 69 | 403 | 430 | | 500 | 400 | | 200 | 0 | 400 | 50 | | 3 | 5 |
| | 500 | | 69 | 503 | 530 | | 600 | 400 | | 200 | | 500 | 100 | | 3 | 6 |
| | 600 | 7 | 69 | 603 | 630 | | 700 | 600 | | 200 | 0 | 600 | 50 | | 4 | 7 |
| 1 | | | | | | | | | | | | | | | | |
| Baugröße | Hub | L | .1 | | L3 | | L4 | L5 | | L6 | 1 | L7 | L8 | | m | n |
| | | | - | | +4 | | | | | | | | | | | |
| | | | | | S | | | | | | | | | _ | | |
| 46 | 200 | | 5,5 | 206 | 240 | | 340 | 200 | | 200 | | 200 | 70 | | 2 | 3 |
| | 300 | | 5,5 | 306 | 340 | | 440 | 400 | | 200 | | 300 | 20 | | 3 | 4 |
| | 400 | | 5,5 | 406 | 440 | | 540 | 400 | | 200 | | 400 | 70 | | 3 | 5 |
| | 500 | | 5,5 5,5 | 506 606 | 540 640 | | 740 | 600 | | 200 | | 500 600 | 20 | | 4 | 7 |
| | | | | 806 | 840 | | 940 | 800 | | | | 800 | 70 70 | | 5 | 9 |
| 800 1 025,5 806 | | | | | 840 | 040 740 | | | | 200 | , | 800 | 70 | | , | , |
| Baugröße | B1 | B2 | В3 | B4 | B5 | В6 | B7 | B8 | | В9 | B10 | B11 | D1 | D2 | D3 | D4 |
| Budgrobe | 51 | 52 | | | | 50 | 5, | 50 | | ر | 510 | 511 | Ø | Ø | Ø | Ø |
| | | | ±0,1 | | ±0,04 | ±0,1 | | | | | | | h7 | g7 | | |
| 33 | 60 | 40 | 36 | 30 | 30 | 25 | 8,5 | 37,4 | ļ | 8,9 | 23 | 30 | 8 | 38 | 34 | 5,5 |
| 46 | 86 | 48 | 36 | 46 | 46 | 42 | 10 | 54,4 | ŀ | 10 | 46 | 46 | 10 | 38 | 34 | 6,6 |
| | | | | | _ | | | | | | | | | | | |
| Baugröße | D5 | D6 | D7 | D8 | D9 | D10 | D11 | H1 | | Н3 | H4 | H5 | H6 | H7 | ' | L2 |
| | Ø | | Ø | | | | | | | | | | | | | S |
| | | | H7 | | | | | | | | | ±0,1 | | | | |
| 33 | 9,5 | M5 | 4 | M5 | M2,6 | M2 | М3 | 43 | | 20 | 23 | 29 | 33 | 5 | 107 | 94,3 |
| 46 | 11 | M6 | 5 | M5 | M2,6 | M2 | M4 | 60 | | 29 | 32 | 29 | 46 | 8 | 140 | 123,5 |
| | | | | | | | | | | | | | | | | |
| Baugröße | L9 | L10 | L11 | L | .12 | L | .13 | | L14 | | L | 15 | L16 | L17 | 7 L18 | L19 |
| | | | | | S | | S | ±0,0 | 4 | S ±0,1 | | S | | | | |
| 33 | 50 | 58 | 11 | 76 | 50,5 | 54 | 28,5 | 42 | | 6 | 30 | 14,25 | 26 | 22 | 20 | 9 |
| 46 | 70 | 72,5 | 13 | 110 | 77 | 81 | 48 | 28 | | 11 | 46 | 24 | 33,5 | 25 | 19, | 5 18 |
| | | | | | | | | | | | | | | | | |
| Baugröße | L20 | L2 | 1 | L22 | L24 | T1 | T: | 2 | T3 | 3 | T4 | T5 | T6 | | T7 | T8 |
| | ±0,1 | | | ±0,1 | | | | | | | | | | | | |
| 33 | ±0,1 | 2 | | ±0,1 4 | 100 | 5,4 | 6 | | 2,5 | 5 | 10 | 3,5 | 5 | \blacksquare | 6 | 2 |
| 46 | 65,5 | 2 | | 6 | 100 | 6,5 | 9 | | 2,5 | | 10 | 4 | 5 | | | 2 |
| ,0 | 0,00 | | | J | 100 | 0,7 | | | ۷,- | - | 10 | | , | | J | |

FESTO

Bestellangaben – Produktbaukasten

| Be | stelltabelle | | | | | | | | |
|----|-----------------------|------|-----------------|-----------------------|------------|----------------------|------------------|--------------|-----------------|
| Ва | ugröße | | 20 | 26 | 33 | 46 | Bedin- gungen | Code | Eintrag Code |
| M | Baukasten-Nr. | | 562754 | 562755 | 562756 | 562757 | | | |
| | Antriebsfunktion | | Elektrischer So | hlittenantrieb, mit I | Kugelkette | | | EGSP | EGSP |
| | Baugröße | | 20 | 26 | 33 | 46 | | | |
| | Standard-Hub | [mm] | 25 | - | | | | -25 | |
| | für Standardschlitten | | - | 50 | - | | | -50 | |
| | | | 75 | - | | | | -75 | |
| | | | _ | 100 | | - | | -100 | |
| | | | 125 | - | | | | -125 | |
| | | | _ | 150 | _ | | | -150 | |
| | | | _ | 200 | | | | -200 | |
| | | , , | - | | 300 | | | -300 | |
| | | | - | | 400 | | | -400 | |
| | | | - | | 500 | | | -500 | |
| | | | - | | 600 | | | -600 | |
| | | | - | | | 800 | | -800 | |
| | Standard-Hub | [mm] | - | | 130 | - | | -130 | |
| | für Schlitten, kurz | | - | | 230 | - | | -230 | |
| | | | _ | | lass | 240 | | -240 | |
| | | | _ | | 330 | - | | -330 | |
| | | | _ | | /20 | 340 | | -340 | |
| | | | _ | | 430 | - | | -430 | |
| | | | _ | | F30 | 440 | | -440 -530 | |
| | | | _ | | 530 | 540 | | -540 | |
| | | | _ | | 630 | 540 | | -630 | |
| | | | | | 630 | 640 | | -640 | |
| | | | | | | 840 | | -840 | |
| | Spindelsteigung | [mm] | 1 | | | 040 | | -040 -1P | |
| | Spindersteigung | [mm] | - | 2 | | | | -1P -2P | |
| | | | 6 | Z | | - | | -6P | |
| | | | - | - | 10 | | | -10P | |
| | | | 20 | | 20 | | | -20P | |
| า | Genauigkeit | | Standardgena | uigkoit | | | | | |
| 2 | Genauigkeit | | Höhere Genau | | | | | -H | |
| | | | Präzisionsgena | | | | 1 | -п -Р | |
| | Schlittenausführung | | Standardschlit | | | | | - | |
| | Schuttenaustumung | | _ | .(כוו | 2 | -S | | | |
| | Zusatzschlitten | | Kein Zusatzsch | litten | كا | _ | | | |
| | Lusuizschillich | | | n (Zusatzschlitten Z | S 3 | - Z | | | |
| | | | | s einen kurzen Schl | | Sermittendasidinding | | _ | |

| 1 | Р | Bei Baugröße 46 nicht in Verbindung mit Hub für Standardschlitten 800 und Hub für Schlitten, kurz | 840 |
|---|---|---|-----|
| | | | |

| Übertrag Be | Übertrag Bestellcode | | | | | | | | | | | | | | | |
|-------------|----------------------|------|---|--|---|--|---|--|---|--|---|--|---|--|---|--|
| | | EGSP | - | | - | | - | | - | | - | | - | | - | |

S Bei Baugröße 33 nicht in Verbindung mit Spindelsteigung 20
 Bei Baugröße 20 nicht in Verbindung mit Hub für Standardschlitten 25 Bei Baugröße 26 nicht in Verbindung mit Hub für Standardschlitten 50 Bei Baugröße 33 nicht in Verbindung mit Hub für Standardschlitten 100

| Zulässige Achs-/Motor-Kombi | nationen mit Axialbausatz – Ohne G | ietriebe | Datenblätter → Internet: eamm-a |
|------------------------------|------------------------------------|---------------------------|---------------------------------|
| Motor | Axialbausatz | Axialbausatz besteht aus: | |
| | | Motorflansch | Kupplung |
| | | | D. 18. 18. |
| Тур | Teile-Nr. Typ | Teile-Nr. Typ | Teile-Nr. Typ |
| EGSK-15 | | | |
| mit Servomotor | | | |
| EMME-AS-40 | 1982886 | 1982014 | 2310368 |
| | EAMM-A-P3-28D-40P | EAMF-A-28D-40P | EAMC-16-20-3-8 |
| mit Schrittmotor | · | <u> </u> | <u> </u> |
| EMMS-ST-28 | 1703478 EAMM-A-P3-28D-28A | 1087613 EAMF-A-28D-28A | 562672 EAMC-16-20-3-5 |
| EGSK-20/EGSP-20 | | | |
| mit Servomotor | | | |
| EMME-AS-40 | 1983071 | 1976704 | 562675 |
| EMME A5 40 | EAMM-A-P4-28B-40P | EAMF-A-28B-40P | EAMC-16-20-4-8 |
| EMMS-AS-40 | 562637 | 552163 | 562673 |
| | EAMM-A-P4-28B-40A | EAMF-A-28B-40A | EAMC-16-20-4-6 |
| mit Schrittmotor | | | |
| EMMS-ST-28 | 1731466 | 1704476 | 562674 |
| | EAMM-A-P4-28B-28A | EAMF-A-28B-28A | EAMC-16-20-4-5 |
| EMMS-ST-42 | 562636 | 552164 | 562674 |
| | EAMM-A-P4-28B-42A | EAMF-A-28B-42A | EAMC-16-20-4-5 |
| | | · | • |
| EGSK-26/EGSP-26 | | | |
| mit Servomotor | | | |
| EMME-AS-40 | 1983122 | 1976704 | 562677 |
| FMMC 4C /0 | EAMM-A-P5-28B-40P | EAMF-A-28B-40P | EAMC-16-20-5-8 |
| EMMS-AS-40 | 562641 | 552163 | 543419 |
| 2001 200 | EAMM-A-P5-28B-40A | EAMF-A-28B-40A | EAMC-16-20-5-6 |
| mit Schrittmotor EMMS-ST-28 | 1721676 | 170/67/ | 5/2/7/ |
| EMM3-31-28 | 1731474 EAMM-A-P5-28B-28A | 1704476 EAMF-A-28B-28A | 562676 EAMC-16-20-5-5 |
| EMMS-ST-42 | | | 562676 |
| LIMINIJ-31-44 | 562640 EAMM-A-P5-28B-42A | 552164 EAMF-A-28B-42A | EAMC-16-20-5-5 |
| | EARIM A-1 3-200-42A | EAST A-200-72A | Emilie 10-20-3-3 |
| EGSK-33 | | | |
| mit Servomotor | | | |
| EMME-AS-40 | 1983450 | 1984478 | 533708 |
| | EAMM-A-P6-38A-40P | EAMF-A-38A-40P | EAMC-30-32-6-8 |
| EMMS-AS-40 | 562646 | 562667 | 558312 |
| | EAMM-A-P6-38A-40A | EAMF-A-38A-40A | EAMC-30-32-6-6 |
| EMMS-AS-55 | 562647 | 558176 | 551003 |
| | EAMM-A-P6-38A-55A | EAMF-A-38A-55A | EAMC-30-32-6-9 |
| EMME-AS-60 | 2264375 | 1987412 | 1233256 |
| | EAMM-A-P6-38A-60P | EAMF-A-38A-60P | EAMC-30-32-6-14 |
| mit Schrittmotor | | | |
| EMMS-ST-42 | 562644 | 562668 | 561333 |
| | EAMM-A-P6-38A-42A | EAMF-A-38A-42A | EAMC-30-32-5-6 |
| EMMS-ST-57 | 562645 | 560692 | 551002 |
| | EAMM-A-P6-38A-57A | EAMF-A-38A-57A | EAMC-30-32-6-6.35 |

| Zulässige Achs-/Motor-Ko | mbinationen mit Axialbausatz – Ohne G | etriebe | Datenblätter → Internet: eamm-a |
|--------------------------|---------------------------------------|---------------------------|---------------------------------|
| Motor | Axialbausatz | Axialbausatz besteht aus: | |
| | | Motorflansch | Kupplung |
| | | | O BEE |
| Тур | Teile-Nr. | Teile-Nr. | Teile-Nr. |
| | Тур | Тур | Тур |
| EGSK-46/EGSP-33 | | | |
| mit Servomotor | | | |
| EMME-AS-40 | 1986292 | 1984478 | 543422 |
| | EAMM-A-P8-38A-40P | EAMF-A-38A-40P | EAMC-30-32-8-8 |
| EMMS-AS-40 | 562652 | 562667 | 533708 |
| | EAMM-A-P8-38A-40A | EAMF-A-38A-40A | EAMC-30-32-6-8 |
| EMMS-AS-55 | 562653 | 558176 | 543423 |
| | EAMM-A-P8-38A-55A | EAMF-A-38A-55A | EAMC-30-32-8-9 |
| EMME-AS-60 | 1987308 | 1987412 | 562682 |
| | EAMM-A-P8-38A-60P | EAMF-A-38A-60P | EAMC-30-32-8-14 |
| EMMS-AS-70 | 564996 | 558018 | 551004 |
| | EAMM-A-P8-38A-70A | EAMF-A-38A-70A | EAMC-30-32-8-11 |
| mit Schrittmotor | | | |
| EMMS-ST-42 | 562650 | 562668 | 562678 |
| | EAMM-A-P8-38A-42A | EAMF-A-38A-42A | EAMC-30-32-5-8 |
| EMMS-ST-57 | 562651 | 560692 | 543421 |
| | EAMM-A-P8-38A-57A | EAMF-A-38A-57A | EAMC-30-32-6.35-8 |
| EMMS-ST-87 | 564998 | 560693 | 551004 |
| | EAMM-A-P8-38A-87A | EAMF-A-38A-87A | EAMC-30-32-8-11 |
| | | | |
| EGSP-46 | | | |
| mit Servomotor | 1 | 1 | l |
| EMMS-AS-55 | 562659 | 558176 | 562680 |
| FMMF 46 40 | EAMM-A-P10-38A-55A | EAMF-A-38A-55A | EAMC-30-32-9-10 |
| EMME-AS-60 | 2036017 | 1987412 | 562683 |
| EMMS-AS-70 | EAMM-A-P10-38A-60P | EAMF-A-38A-60P 558018 | EAMC-30-32-10-14 565008 |
| EMINI3-A3-/U | 564997 | 558018 EAMF-A-38A-70A | |
| mit Schrittmotor | EAMM-A-P10-38A-70A | EANT-A-30A-/UA | EAMC-30-32-10-11 |
| EMMS-ST-57 | 562658 | 560692 | 562679 |
| EIVIIVI3-31-3/ | EAMM-A-P10-38A-57A | EAMF-A-38A-57A | EAMC-30-32-6.35-10 |
| EMMS-ST-87 | 564999 | 560693 | 565008 |
| LIMINI3-31-0/ | EAMM-A-P10-38A-87A | EAMF-A-38A-87A | EAMC-30-32-10-11 |
| | EANINI-A-F10-30A-0/A | EMINIT-M-30A-0/A | EMMC-30-32-10-11 |

FESTO

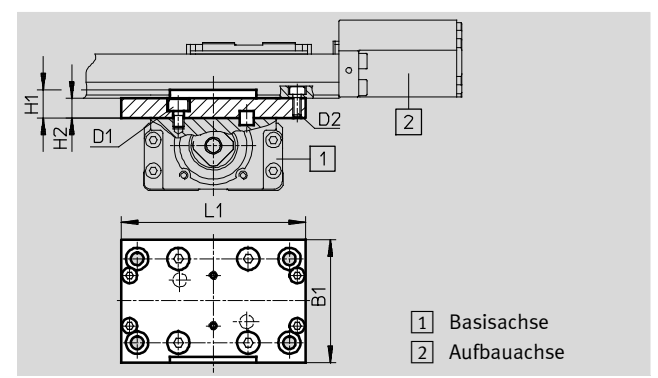
Kreuzverbindungs-Bausatz EHAM

Werkstoff: Adapterplatte: Aluminium, eloxiert

Schrauben, Passstifte: Stahl







| Abmessungen und Bestellangaben | | | | | | | | | | |
|--------------------------------|-------------|------|----|----|----|----|------|---------|-----------|---------------|
| für Baugröße | | B1 | D1 | D2 | H1 | H2 | L1 | Gewicht | Teile-Nr. | Тур |
| Basisachse | Aufbauachse | | | | | | | [g] | | |
| 1 | 2 | ±0,2 | | | | | ±0,2 | | | |
| 20 | 15 | 33,2 | M3 | M3 | 7 | 5 | 56 | 27 | 563747 | EHAM-S1-20-15 |
| 26 | 20 | 44 | M4 | M3 | 10 | 7 | 66 | 59 | 563748 | EHAM-S1-26-20 |
| 33 | 26 | 54 | M5 | M4 | 12 | 9 | 86 | 124 | 563749 | EHAM-S1-33-26 |
| 46 | 33 | 65 | M6 | M5 | 15 | 10 | 112 | 216 | 563750 | EHAM-S1-46-33 |

FESTO

Schlittenadapter EASA

Werkstoff:

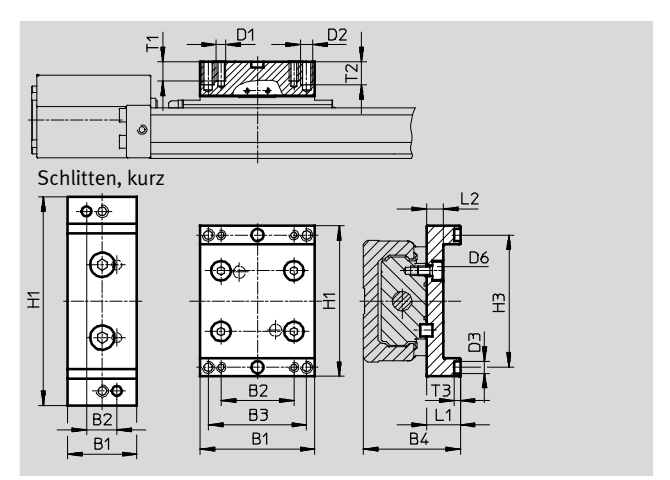
Adapterplatte: Aluminium,

eloxiert

Schrauben, Passstifte: Stahl

RoHS-konform





| Abmessungen u | nd Bestellan | gaben | | | | | | | | |
|-------------------|--------------|-------|----|----|----|----|----|----|------|-------|
| für Baugröße | B1 | B2 | В3 | B4 | D1 | D2 | D3 | D6 | H1 | H3 |
| | | | | | | | Ø | | | |
| | ±0,2 | | | | | | H7 | | ±0,2 | +0,04 |
| mit Standardsch | litten | | | | | | | | | |
| 15 | 23 | 14 | - | 25 | M3 | - | 4 | M3 | 44 | 38 |
| 20 | 33,2 | 23 | | 32 | M3 | | 2 | M3 | 52 | 44,5 |
| 26 | 47,4 | 30 | | 40 | M4 | | 5 | M4 | 62 | 54,5 |
| 33 | 54 | 40 | | 48 | M5 | | 4 | M5 | 86 | 74 |
| 46 | 81 | 30 | 48 | 68 | M5 | M6 | 5 | M6 | 112 | 100 |
| | | | | | | | | | | |
| mit Schlitten, ku | rz | | | | | | | | | |
| 33 | 28,5 | 12,5 | - | 48 | M5 | - | 4 | M5 | 86 | 74 |
| 46 | 48 | 22 | | 68 | M6 | | 5 | M6 | 112 | 100 |

| für Baugröße | L1 +0,05 | L2 | T1 | T2 | T3 +0,1 | Gewicht [g] | Teile-Nr. | Тур |
|-------------------|-------------|-----|----|----|------------|----------------|-----------|--------------|
| mit Standardsch | litten | | | | | | | |
| 15 | 10 | 5,4 | 6 | - | 2,5 | 20 | 562742 | EASA-S1-15 |
| 20 | 12 | 6 | 6 | | 2,5 | 38 | 562743 | EASA-S1-20 |
| 26 | 14 | 7 | 8 | | 2,5 | 74 | 562744 | EASA-S1-26 |
| 33 | 15 | 9 | 15 | | 2,6 | 130 | 562745 | EASA-S1-33 |
| 46 | 22 | 10 | 10 | 12 | 2,6 | 310 | 562746 | EASA-S1-46 |
| mit Schlitten, ku | rz | | | | | | | |
| 33 | 15 | 9 | 15 | - | 2,6 | 70 | 562747 | EASA-S1-33-S |
| 46 | 22 | 10 | 12 | , | 2,6 | 180 | 562748 | EASA-S1-46-S |

FESTO

Abdeckungsbausatz EASC

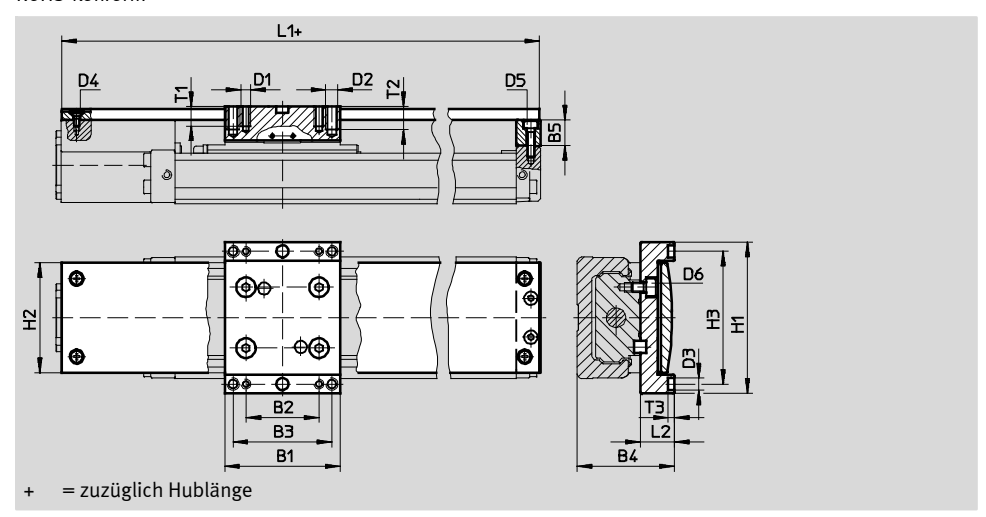
für Standardschlitten

Werkstoff:

Abdeckprofil, Adapterplatte, Adapter: Aluminium, eloxiert Schrauben, Passstifte: Stahl

RoHS-konform





| Abmessungen | | | | | | | | | | |
|--------------|------|----|----|----|------|----|----|----|------|------|
| für Baugröße | B1 | B2 | В3 | B4 | B5 | D1 | D2 | D3 | D4 | D5 |
| | | | | | | | | Ø | | |
| | ±0,2 | | | | | | | H7 | | |
| 15 | 23 | 14 | - | 25 | 6,5 | M3 | - | 4 | M2 | M2 |
| 20 | 33,2 | 23 | , | 32 | 9 | M3 | | 2 | M2,5 | M2,5 |
| 26 | 47,4 | 30 | • | 40 | 10,5 | M4 | | 5 | M2,5 | M3 |
| 33 | 54 | 40 | , | 48 | 7 | M5 | | 4 | M3 | M3 |
| 46 | 81 | 30 | 48 | 68 | 10 | M5 | M6 | 5 | M4 | M4 |

| für Baugröße | D6 | H1 | H2 | Н3 | L1 | L2 | T1 | T2 | T3 |
|--------------|----|------|------|-------|-------|----|----|----|------|
| | | ±0,2 | ±0,2 | ±0,04 | -0,3 | | | | +0,1 |
| 15 | M3 | 44 | 30 | 38 | 96,7 | 10 | 6 | - | 2,5 |
| 20 | M3 | 52 | 35,6 | 44,5 | 126,2 | 12 | 6 | | 2,5 |
| 26 | M4 | 62 | 45 | 54,5 | 156,2 | 14 | 8 | | 2,5 |
| 33 | M5 | 86 | 62,5 | 74 | 168,2 | 15 | 15 | | 2,6 |
| 46 | M6 | 112 | 82,4 | 100 | 224,7 | 22 | 10 | 12 | 2,6 |

| Bestellar | ıgaben | | | | | | | | |
|-------------------|--------|---------|-----------|----------------|-------------------|------|---------|-----------|----------------|
| für Bau- größe | Hub | Gewicht | Teile-Nr. | Тур | für Bau- größe | Hub | Gewicht | Teile-Nr. | Тур |
| | [mm] | [g] | | | | [mm] | [g] | | |
| 15 | 25 | 51 | 562707 | EASC-S1-15-25 | 33 | 100 | 327 | 562718 | EASC-S1-33-100 |
| | 50 | 57 | 562708 | EASC-S1-15-50 | | 200 | 391 | 562719 | EASC-S1-33-200 |
| | 75 | 62 | 562709 | EASC-S1-15-75 | | 300 | 454 | 562720 | EASC-S1-33-300 |
| | 100 | 67 | 562710 | EASC-S1-15-100 | | 400 | 518 | 562721 | EASC-S1-33-400 |
| 20 | 25 | 92 | 562711 | EASC-S1-20-25 | | 500 | 581 | 562722 | EASC-S1-33-500 |
| | 75 | 107 | 562712 | EASC-S1-20-75 | | 600 | 645 | 562723 | EASC-S1-33-600 |
| | 125 | 121 | 562713 | EASC-S1-20-125 | 46 | 200 | 850 | 562724 | EASC-S1-46-200 |
| 26 | 50 | 187 | 562714 | EASC-S1-26-50 | | 300 | 965 | 562725 | EASC-S1-46-300 |
| | 100 | 211 | 562715 | EASC-S1-26-100 | | 400 | 1 080 | 562726 | EASC-S1-46-400 |
| | 150 | 234 | 562716 | EASC-S1-26-150 | | 500 | 1 200 | 562727 | EASC-S1-46-500 |
| | 200 | 258 | 562717 | EASC-S1-26-200 | | 600 | 1 310 | 562728 | EASC-S1-46-600 |
| | | | | | | 800 | 1 540 | 562729 | EASC-S1-46-800 |

FESTO

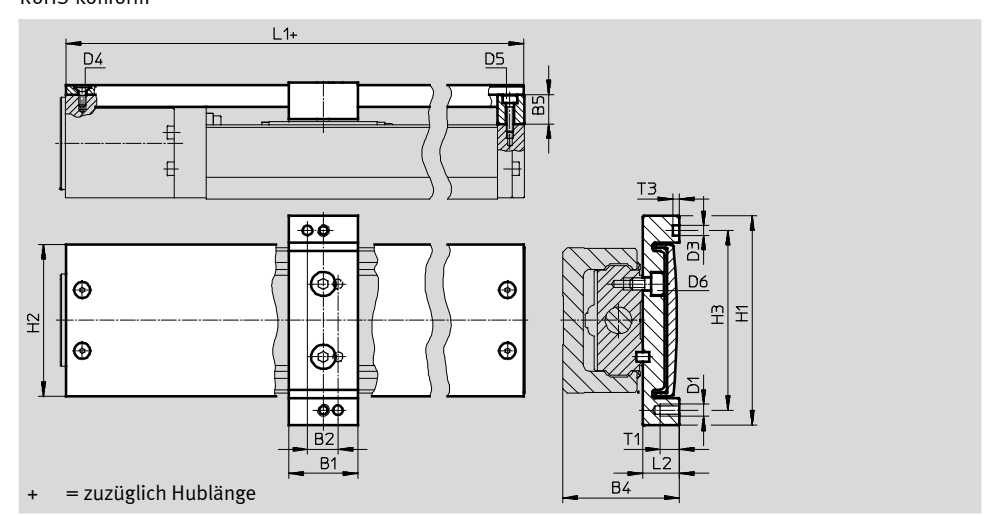
Abdeckungsbausatz EASC

für Schlitten kurz

Werkstoff:

Abdeckprofil, Adapterplatte, Adapter: Aluminium, eloxiert Schrauben, Passstifte: Stahl RoHS-konform





| Abmessungen | | | | | | | | |
|--------------|------------|-------------|------|-------|-------|---------------|----|------|
| für Baugröße | B1 ±0,2 | B2 ±0,04 | B4 | B5 | D1 | D3 ∅ H7 | D4 | D5 |
| 33 | 28,5 | 12,5 | 48 | 7 | M5 | 4 | M3 | M3 |
| 46 | 48 | 22 | 68 | 10 | M6 | 5 | M4 | M4 |
| für Baugröße | D6 | H1 | H2 | Н3 | L1 | L2 | T1 | Т3 |
| | | ±0,2 | ±0,2 | ±0,04 | -0,3 | | | +0,1 |
| 33 | M5 | 86 | 62,5 | 74 | 138,2 | 15 | 15 | 2,6 |
| 46 | M6 | 112 | 82,4 | 100 | 184,7 | 22 | 12 | 2,6 |

| Bestellangabe | n | | |
|---------------|------|---------|-------------------------|
| für Baugröße | Hub | Gewicht | Teile-Nr. Typ |
| | [mm] | [g] | |
| 33 | 130 | 263 | 562730 EASC-S1-33-130-S |
| | 230 | 328 | 562731 EASC-S1-33-230-S |
| | 330 | 391 | 562732 EASC-S1-33-330-S |
| | 430 | 454 | 562733 EASC-S1-33-430-S |
| | 530 | 518 | 562734 EASC-S1-33-530-S |
| | 630 | 581 | 562735 EASC-S1-33-630-S |
| 46 | 240 | 724 | 562736 EASC-S1-46-240-S |
| | 340 | 840 | 562737 EASC-S1-46-340-S |
| | 440 | 955 | 562738 EASC-S1-46-440-S |
| | 540 | 1 070 | 562739 EASC-S1-46-540-S |
| | 640 | 1 190 | 562740 EASC-S1-46-640-S |
| | 840 | 1 420 | 562741 EASC-S1-46-840-S |

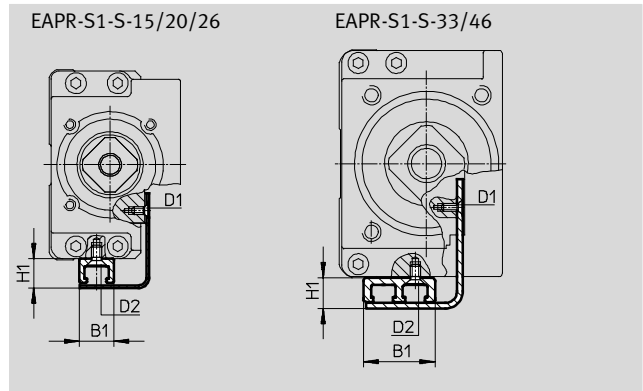
FESTO

Sensorleiste EAPR

Werkstoff: Sensorhalter: Aluminium, eloxiert Schaltfahne, Schrauben: Stahl,

verzinkt RoHS-konform





| Abmessungen | | | | | | |
|--------------------|--------|------|----------------|------|------|--------|
| für Baugröße | B1 | H | 1 1 | D | 1 | D2 |
| für Typ | | EGSK | EGSP | EGSK | EGSP | |
| mit Standardsch | litten | | | | | |
| 15 | | 8,5 | - | M2 | - | M2 |
| 20 | 9 | 7,75 | 7,75 | IVIZ | M1,6 | M2,5 |
| 26 | | 7,75 | 7,75 | M3 | M2 | 1012,5 |
| 33 | 19 | 7,75 | 8,5 | M2 | M2 | M2,5 |
| 46 | 19 | 7,73 | 0,5 | IVIZ | IVIZ | 1012,5 |
| | | | | | | |
| mit Schlitten, kui | rz | | | | | |
| 33 | 19 | 7,5 | 8,5 | M2 | M2 | M2,5 |
| 46 | 19 | 8,5 | 0,5 | 1412 | 1412 | 1412,5 |

| Bestellangabe | en | | |
|---------------|-------------------------------|---------|-------------------------------|
| für Baugröße | Hub | Gewicht | Teile-Nr. Typ |
| für Typ | [mm] | [g] | |
| mit Standards | chlitten | | |
| 15 | 25 | 10 | 562611 EAPR-S1-S-15-25 |
| | 50 | 12 | 562612 EAPR-S1-S-15-50 |
| | 75 | 14 | 562613 EAPR-S1-S-15-75 |
| | 100 | 16 | 562614 EAPR-S1-S-15-100 |
| 20 | 25 | 14 | 562615 EAPR-S1-S-20-25 |
| | 75 | 18 | 562616 EAPR-S1-S-20-75 |
| | 125 | 22 | 562617 EAPR-S1-S-20-125 |
| 26 | 50 | 24 | 562618 EAPR-S1-S-26-50 |
| | 100 | 28 | 562619 EAPR-S1-S-26-100 |
| | 150 | 32 | 562620 EAPR-S1-S-26-150 |
| | 200 | 37 | 562621 EAPR-S1-S-26-200 |
| | | • | <u> </u> |
| mit Standards | chlitten oder Schlitten, kurz | | |
| 33 | 100/130-S | 51 | 562622 EAPR-S1-S-33-100/130-S |
| | 200/230-S | 69 | 562623 EAPR-S1-S-33-200/230-S |
| | 300/330-S | 88 | 562624 EAPR-S1-S-33-300/330-S |
| | 400/430-S | 106 | 562625 EAPR-S1-S-33-400/430-S |
| | 500/530-S | 125 | 562626 EAPR-S1-S-33-500/530-S |
| | 600/630-S | 144 | 562627 EAPR-S1-S-33-600/630-S |
| 46 | 200/240-S | 78 | 562628 EAPR-S1-S-46-200/240-S |
| | 300/340-S | 97 | 562629 EAPR-S1-S-46-300/340-S |
| | 400/440-S | 115 | 562630 EAPR-S1-S-46-400/440-S |
| | 500/540-S | 134 | 562631 EAPR-S1-S-46-500/540-S |
| | 600/640-S | 153 | 562632 EAPR-S1-S-46-600/640-S |
| | 800/840-S | 190 | 562633 EAPR-S1-S-46-800/840-S |

FESTO

| Bestellangaben – Zentrierstifte, Zentrierhülsen | | | | | | |
|---|--------------|----------------------|-----------|-------|------------------|--|
| | für Baugröße | Bemerkung | Teile-Nr. | Тур | PE ¹⁾ | |
| () | 15 | für Schlitten | 189652 | ZBH-5 | 10 | |
| | 20 | | 525273 | ZBS-2 | | |
| | 26, 46 | | 150928 | ZBS-5 | | |
| | 33 | | 562959 | ZBS-4 | | |
| | 15, 33 | für Schlittenadapter | 562959 | ZBS-4 | | |
| | 20 | | 525273 | ZBS-2 | | |
| | 26, 46 | | 150928 | ZBS-5 | | |

¹⁾ Packungseinheit in Stück

| Bestellanga | ben – Näherungsschalter für T-Nut, in | duktiv | | | | Datenblätter → Internet: sies |
|-------------|---------------------------------------|---------|------------------------|------------|-----------|-------------------------------|
| | Befestigungsart | Schalt- | Elektrischer Anschluss | Kabellänge | Teile-Nr. | Тур |
| | | ausgang | | [m] | | |
| Schließer | | | | | | |
| | von oben in Nut einsetzbar, bündig | PNP | Kabel, 3-adrig | 7,5 | 551386 | SIES-8M-PS-24V-K-7,5-OE |
| SET WIT | mit Sensorleiste | | Stecker M8x1, 3-polig | 0,3 | 551387 | SIES-8M-PS-24V-K-0,3-M8D |
| | | NPN | Kabel, 3-adrig | 7,5 | 551396 | SIES-8M-NS-24V-K-7,5-OE |
| | | | Stecker M8x1, 3-polig | 0,3 | 551397 | SIES-8M-NS-24V-K-0,3-M8D |
| | | | | • | | |
| Öffner | | | | | | |
| | von oben in Nut einsetzbar, bündig | PNP | Kabel, 3-adrig | 7,5 | 551391 | SIES-8M-PO-24V-K-7,5-OE |
| SET SET | mit Sensorleiste | | Stecker M8x1, 3-polig | 0,3 | 551392 | SIES-8M-PO-24V-K-0,3-M8D |
| * | | NPN | Kabel, 3-adrig | 7,5 | 551401 | SIES-8M-NO-24V-K-7,5-OE |
| | | | Stecker M8x1, 3-polig | 0,3 | 551402 | SIES-8M-NO-24V-K-0,3-M8D |

| Bes | tellangal | Datenblätter 🗲 Internet: nebu | | | | |
|-----|-----------|-------------------------------|-------------------------------|------------|-----------|---------------------|
| | | Elektrischer Anschluss links | Elektrischer Anschluss rechts | Kabellänge | Teile-Nr. | Тур |
| | | | | [m] | | |
| | | Dose gerade, M8x1, 3-polig | Kabel, offenes Ende, 3-adrig | 2,5 | 541333 | NEBU-M8G3-K-2.5-LE3 |
| | • | | | 5 | 541334 | NEBU-M8G3-K-5-LE3 |
| | | Dose gewinkelt, M8x1, 3-polig | Kabel, offenes Ende, 3-adrig | 2,5 | 541338 | NEBU-M8W3-K-2.5-LE3 |
| | | | | 5 | 541341 | NEBU-M8W3-K-5-LE3 |